

Universidad Nacional de Ingeniería
FACULTAD DE PETROLEO

**“EL RESERVORIO FIORELLA DEL
CAMPO PETROLIFERO SELVA”**

Proyecto de Grado para optar el
título de Ingeniero de Petróleo
FRANZ F. DURAND WOOLCOTT

PROMOCION 1962

LIMA - PERU

A mi madre
con toda mi devoción

A mis maestros
con profundo respeto

I N D I C E

I .- El Campo Petrolífero Selva

- A.- Ubicación Geográfica.- Generalidades
- B.- Piso Descriptivo Selva 1

II .- El Reservorio Petrolífero Fiorella

- A.- Desarrollo del Mapa de Contorno Estructural
 - 1.- Características físicas del Reservorio
 - 2.- Mapa de Contorno del Túnel de la Arenisca Fiorella
- B.- Cálculo Volumétrico del Contenido de Petróleo Original
 - 1.- Cálculo del Volumen Reservorio
 - 2.- Contenido de Petróleo Original
- C.- Estimación de las Reservas Recuperables
 - 1.- Primera Fórmula (Factor de Recuperación)
 - 2.- Segunda Fórmula (Fórmula de Crane; Buckley y Arps)

III.- Predicción de Performance del Reservorio.- Programas

- A.- Propiedades del Reservorio Fiorella.- Justificación de Datos asumidos.
 - 1.- Presión y Temperatura
 - 2.- Gas en Solución.- Factor de Volumen del Petróleo
 - 3.- Salinidad del Agua Intersticial.- Saturación de Petróleo Residual.
- B.- Predicción de Performance
 - 1.- El Reservorio Fiorella produce por impulsión de agua (ED).
 - 2.- Ecuaciones de Performance del Reservorio

a) Ecuación de Incursión Agua

b) Ecuación de Balance de Mat.

3.- Forma de Aplicación de las ecuaciones.- Rol de la Presión.- El valor de los términos B y t

4.- Cálculo de los valores de B y t

5.- Predicción de Comportamiento de la Presión, e incursión de agua.- Ejemplo Teórico.- Caso del Reservorio Piorella.

C.- Programas de Predicción

1.- Datos generales del Reservorio Piorella

2.- Consideraciones Teóricas

3.- Programas.- Conclusiones

INTRODUCCION

El oriente peruano esté considerado como la fuente de reservorios petrolíferos del país, al ir desgastándose los viejos campos del noreste.

El presente trabajo es un estudio teórico-práctico sobre un campo petrolífero denominado Selva, por encontrarse en esta región del Perú. A través del presente estudio veremos algunas características muy peculiares a nuestro reservorio productivo a la par que a otros descubiertos en dicha región. La mayor parte de los datos de trabajo son reales, salvo una u otra excepción en que han tenido que asumirlos por carencia de los mismos. El mayor énfasis desarrollo corresponde a la estructuración del mapa de contorno estructural del reservorio productivo Morella, el estudio de sus reservas, así como a la estructuración de un programa teórico de producción.

I.- CAMPO PETROLIFERO SELVA.

A.- Ubicación Geográfica.- Generalidades

El campo petrolífero Selva está ubicado geográficamente a la margen derecha (hacia el Este) aguas abajo de uno de los grandes ríos de nuestra Amazonía.- Se halla en una región totalmente cubierta por bosque tropical, pluvioso, quedando limitada hacia el N y el NE por una parte montañosa, que es atravesada por el río.

Para la observación geológica directa se encuentran muy buenos afloramientos tanto en los cerros antes mencionados, cuanto en la penillanura del río, de 200 - 400 m. de altitud, que se halla intensamente cortada.

Casi toda la zona del gran río ha sido aerofotografiada estereoscópicamente, permitiendo la interpretación fotogeológica de las formas de superficie, el establecimiento de relaciones con la observación geológica de campo; cada formación importante mapeada en el terreno es reconocible en las fotografías aéreas y su ubicación se controla por medio de ellas.

Por intermedio de los estudios antes mencionados, así como de métodos geofísicos, generalmente sísmica y gravimetría, se comprobó la existencia de una cadena de anticlinales que puede seguirse por unos 85 kms.

En las zonas aledañas a nuestro campo se perforaron primitivamente 2 pozos ubicados en anticlinales que hallaron buenos reservorios pero ninguna indicación de petróleo; posteriormente se perforaron 3 pozos más hallando impregnación de petróleo en las zonas de areniscas, pero sin valor comercial;

por fin el pozo que denominaré Selva 1 (S-1) descubrió el reservorio del campo de ese nombre, con producción comercial.

B.- Pozo Descubridor Selva 1.-

El pozo descubridor del yacimiento, Selva 1, está ubicado sobre un anticlinal de unos 7 km. de largo y de 3 km. de ancho de forma ovalada. Este anticlinal forma parte de la cadena de anticlinales antes mencionados.

La secuencia estratigráfica del pozo Selva 1, está compuesta de las siguientes formaciones:

Formación Terciaria.- Capas Rojas Continentales.- Estas varían en edad del Cretácico al Mioceno, en una probable intercalación salobre marina de probable edad oligooceánica. Son arcillas margosas al comienzogradando a arenosas, al principio rojas (de allí el nombre) variando después los colores. Estas capas rojas es el piso común de la selva.

Formaciones Cretácicas.- Son arcillas plásticas de diferentes colores. En esta formación se hallan contenidos dos cuerpos prominentes de arenas, dentro de una formación de areniscas, al medio de los cuales se halla una secuencia de zargos coloreados que presenta hasta 4 interestratificaciones de areniscas. Estos cuerpos arenosos constituyen otros tantos reservorios petrolíferos, de los cuales el inferior al que denominaré Reservorio Fiorella (Arenisca Fiorella), constituye el reservorio de estudio del presente trabajo.

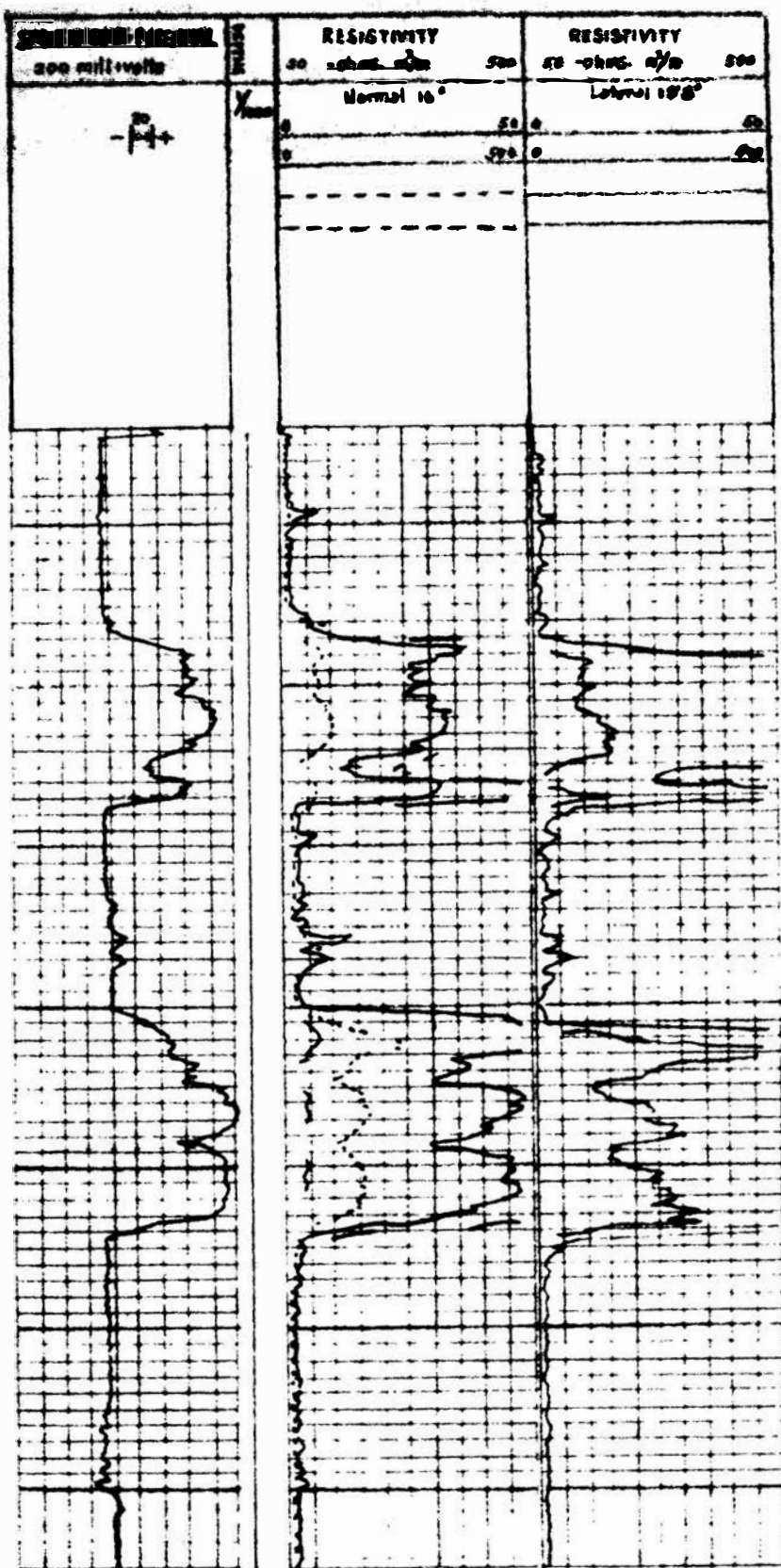
Al tercer cuerpo arenoso (Fiorella) lo sigue una secuencia de lutitas negrascas, finamente interestratificadas con areniscas de grano fino. A continuación se halla una formación

potente de arena y areniscas de colores claros; sin impregnación de petróleo y con hilillos de materia carbonosa. (Esta arena es la que constituye el reservorio de Agua Caliente al Sur de nuestro reservorio).

Formación Paleozoica. - El permocarbonífero, se presenta aquí en formación dura y conteniendo dolomita. En la parte inferior presenta areniscas finas de cementación dolomítica, aumentando su contenido calcáreo con la profundidad, hasta calizas con poca arena.

La profundidad final del pozo descubridor Selva 1 fue de 1963 mts. (las profundidades las expresaré en mts. para facilidad en las interpretaciones). Resultó petrolífero a la primera prueba efectuada, produciendo de la arenisca Fiorella, que presentó una fuerte potencia de arena saturada de petróleo. El pozo Selva 1 se halla casi al centro de la estructura.

En el corte de registro eléctrico del Pozo Selva 1 se notan, claramente los 3 reservorios enunciados. (gráfico N°.1)



No. 8° 1

II.- EL RESERVORIO FIORELLA.-

Anteriormente se ha mencionado que en el Campo Petrolífero Selva se ubican hasta 3 reservorios petrolíferos; de ellos solamente el reservorio de la parte inferior, Reservorio Fiorella, es el objeto de estudio del presente trabajo; la posición estructural de los pozos que producen de los otros reservorios, han ayudado a confeccionar el mapa de contorno estructural del tope de la arena Fiorella.

A.- Desarrollo del Mapa de Contorno Estructural.-

1.- Características Físicas del Reservorio.- Nuestro reservorio está conformado por una arenisca blanquecina, cuajosa muy pura y homogénea. El grano varía de medio a grueso, redondeado; presenta estratificación cruzada y delgadas bandas y lentes de lutitas oscuras.

Es muy porosa y permeable; la potencia total de la arena es muy uniforme en todos los pozos, con promedio de unos 68 mts.

Los pozos ubicados estructuralmente más altos, presentan esturaciones que a veces llegan a los 20 m.- En esta zona productiva los granos de la arena tienen un tamaño promedio de 0.25 mm.; la porosidad oscila entre los 20 y 25% y la permeabilidad según los cores (testigos) pasa a veces largamente los 1000 milidarcies.

El reservorio se encuentra en toda su extensión sobre una capa de agua, la misma que ha sido ubicada a 457 m.b.n.m. Debo mencionar que este nivel representa el cambio de 100% petróleo a 100% agua, es decir que no he considerado la zona de transición. (aprox. de 5-6 mts.). entre ambos fluidos; lo que constituye un caso ideal. Esta agua de fondo es dulce y con un contenido de sal de aproximadamente 0.05%.

2.- El Mapa de Contorno del tope de la Arenisca Fiorella.

En el campo Petrolífero Selva, se han completado un total de 10 pozos, de los cuales 7 producen de nuestro reservorio Fiorella y están designados correlativamente como S1. A-2 S-7.

Los pozos productores de los reservorios superiores (pozos A, B y C) han ayudado a confeccionar el mapa de contorno estructural del tope de la arenisca productiva del reservorio Fiorella.

El gráfico No.2, ubica los pozos del campo petrolífero Selva, indicando los topes de la arenisca productiva; igualmente el cuadro No.1, relaciona las profundidades de los topes (Debe notarse la poca profundidad, comparativamente, a que se ubica el reservorio).

A partir de estos datos, así como por correlación con otras estructuras del Oriente peruano, he confeccionado el Mapa de Contorno Estructural del Tope de la Arenisca Fiorella. Observando este gráfico vemos que representa un anticlinal oval-alargado, de buzamientos suaves, esto probablemente por estar ubicado junto a la parte central de la estructura. (Gráfico No.3)

B.- Cálculo Volumétrico del Contenido de Petróleo Original.

1.- Cálculo del Volumen Reservorio. - A fin de lograr valores más precisos, he empleado hasta 3 diferentes fórmulas en los cálculos de los volúmenes reservorios y luego ellos han sido promediados; las fórmulas empleadas son la Trapezoidal, la de Simpson y la Piramidal, el desarrollo de las cuales es:

CUADRO N° 1

Reservorio Fiorella

Topes de La Arenisca Productiva Fiorella

<u>Pozos</u>	<u>Elevación</u> m.s.n.m.	<u>Prof. Topes</u>	
		Total, m	m.b.n.m.
S - 1	209.5	651.2	441.7
S - 2	200.4	648.7	448.3
S - 3	207.5	641.0	433.5
S - 4	192.8	638.5	445.7
S - 5	207.3	641.3	434.0
S - 6	188.5	628.0	439.5
S - 7	190.0	631.2	441.2
A	187.1	643.6	456.5
B	193.8	642.0	448.2
C	216.0	672.4	456.4

Truncoidal.-

$$V_t = h \left(\frac{1}{2} a_0 + a_1 + a_2 + \dots + a_{n-1} + \frac{1}{2} a_n \right) + V_{\infty}$$

Simétrica

$$V_s = \frac{h}{3} (a_0 + 4a_1 + 2a_2 + 4a_3 + \dots + 2a_{n-2} + 4a_{n-1} + a_n) + V_{\infty}$$

Piramidal

$$V_p = \frac{h}{3} (a_1 + \sqrt{a_1 a_2} + 2a_2 + \sqrt{a_2 a_3} + 2a_3 + \dots + \sqrt{a_{n-1} a_n} + a_n) + V_{\infty}$$

en donde:

h = intervalo del contorno, m.

a_0 = área encerrada por el contorno cero, m^2

a_1 = " " " " " uno "

a_2 = " " " " " dos "

a_n = " " " " " n "

V_{∞} = volumen superior de la estructura; calculado mediante el promedio de dos fórmulas; considerándolo como una pirámide por $V = \frac{1}{3} (h_a a_n)$ y considerándolo como un segmento esférico por $V = \frac{1}{6} h_a + \frac{1}{2} a_n h_a$; en ambos casos es h_a la altura, calculada por interpolación, y a_n la base de la pirámide o segmento.

Debo mencionar que por carencia de planímetro, se ha visto obligado a calcular las áreas encerradas por las diferentes líneas de contorno estructural por el método de compensación de figuras geométricas; se acompaña el plano que muestra el procedimiento, así como el cuadro con la relación de las áreas.

Dado a que el intervalo entre las líneas de contorno del nivel de agua (457 m.s.n.m.) y la primera (a_0) no sigue el intervalo regular (5 m.), primero se ha calculado este volumen

y luego el del conjunto de líneas que siguen la regularidad. El cálculo ha sido efectuado en metros y posteriormente reducido a las unidades usuales (acres, acre-pie etc.). Se acompaña el cuadro N°.2 y las hojas de cálculos respectivas.

Resumiendo los cálculos efectuados, se han hallado los siguientes resultados para las diferentes fórmulas aplicadas (sin el V_{sc}):

$$\text{Volumen Trapezoidal} \quad V_t = 13'488,323 \text{ m}^3$$

$$\text{Volumen Simpson} \quad V_s = 13'362,983 \text{ m}^3$$

$$\text{Volumen Piramidal} \quad V_p = 13'323,933 \text{ m}^3$$

$$\underline{\text{Volumen Promedio}} = 13'391,746 \text{ m}^3$$

Para el volumen superior de la estructura, tomando $b = 5 \text{ m.}$ aprox. se obtiene:

$$\text{Volumen Pirámide} = 115,165 \text{ m}^3$$

$$\text{Volumen Segmento Esférico} = 172,813 \text{ m}^3$$

$$\underline{\text{Volumen Promedio}} = 143,989 \text{ m}^3$$

por lo tanto el Volumen Reservorio será:

$$V_r = 13'535,735 \text{ m}^3 \quad \text{Volumen Reservorio}$$

$$= 10,974 \text{ Acres-ft.} \quad \text{Formación Fiorella}$$

2.- Contenido de Petróleo Original. La fórmula para efectuar este cálculo es:

$$= \frac{1,758 \times V_r \times \phi \times (1 - S_w)}{B_o} \text{ Bols.}$$

Siendo:

V_r = Volumen Reservorio; Acre-ft.

ϕ = Porosidad promedio; fracción

S_w = Saturación de agua connate; fracción

B_o = Factor "Volumen de Formación"

CUADRO N° 2

Relación de Áreas Encerradas por las Líneas de Contorno

Estructural del Reservorio Fiorella

Líneas de Contorno

<u>Profundidad</u>	<u>Intervalo</u>		<u>Área</u>
m.b.n.m.	m	m ²	Acre
457.0	0	Contc.A/P	1'580,040
455.0	2.0		1'278,058
450.0	7.0		825,278
445.0	12.0		426,247
440.0	17.0		200,942
435.0	22.0		69,099

De acuerdo al estudio de los cores, se han seleccionado los siguientes valores, para el Reservorio Piorella:

$$V_p = 10,974 \text{ Acre-ft.} \quad (\text{Calculado})$$

$$\beta = 0.20 \quad (\text{Cores})$$

$$S_w = 0.20 \quad (\text{Cores})$$

$$B_o = 1.05 \quad (\text{Posteriormente se dará justificación a este valor}).$$

Si sustituimos los datos en la fórmula respectiva obtenemos (ver hoja de cálculo):

$$N = 13'621,807 \text{ Bbls.}$$

Petróleo Original
Reservorio Piorella

Q.- Estimación de las Reservas Recuperables (Recuperación Primaria)

Nuestro reservorio Piorella tiene tal comportamiento en la producción (como se verá posteriormente) que la energía se restituye por impulsión de agua en forma prácticamente completa, siendo la razón de esto que el reservorio es del tipo abierto y con alta permeabilidad; es decir que al igual que la totalidad de los campos de nuestra Selva, produce por Impulsión de Agua (Water Drive); para lograr la estimación deseada debemos calcular el llamado Factor de Recuperación, para el método de producción por impulsión de agua.

Se emplean 2 fórmulas diferentes, para hallar el Factor, con fines comparativos de los resultados.

1.- Factor de Recuperación.- Primera Fórmula

Siguiendo esta fórmula, la recuperación por impulso de agua, sobre la base unitaria está definida por:

$$m = 7.750 \beta \left(\frac{1 - S_w}{B_o} - S_{or} \right) \text{ STO por Acre-ft.}$$

en donde

- WR = Máxima recuperación, base unitaria, STO/Acre-ft.
- ϕ = Porosidad, fracción
- B_0 = Factor volumen de formación
- S_w = Saturación de agua connate; fracción
- S_{op} = Petróleo residual, STO, como fracción del espacio poroso; debido a la impulsión por agua. Este término se halla relacionado a la viscosidad y permeabilidad; hallándose empíricamente a partir de una tabla; la misma que se incluye como referencia.

Los datos de laboratorio son:

- ϕ = 20% (0.2)
- S_w = 20% (0.2)
- μ_o = 2.2 cpo.
- K = 350 ad. Límite inferior
= 1500 ad. Límite superior

de acuerdo a los valores de la permeabilidad y al valor de la viscosidad, se halla mediante la tabla respectiva que los valores del término $B S_{op}$ serán: (Ver hoja de cálculo)

para: K = 350 ad. $B S_{op} = 0.385$
K = 1500 ad. $B S_{op} = 0.3425$

Por lo tanto si reemplazamos en la fórmula (2) estos valores y consideremos para el caso que $B = B_0$ (sin gran error) obtenemos:

WR = 614 STO/A-ft Límite Inferior
WR = 676 STO/A-ft Límite Superior

De otro lado sabemos que el petróleo original en el reservorio Piorella es de 13'621,807 bbls. STO; y el número total de acres-ft es de 10,994, por tanto en la base unitaria el número de barriles de petróleo original por acre-ft ($\frac{B}{A}$) será:

$$\frac{B}{A} = \frac{13'621,807}{10,994} \quad \frac{\text{STO Bbls.}}{\text{Acre-ft}} = 1241 \quad \frac{\text{STO Bbls.}}{\text{Acre-ft}}$$

de acuerdo a los límites de recuperación, los porcentajes recuperables serán:

$$\% \text{ Recup. Inf.} = \frac{WR}{\frac{B}{A}} \cdot \frac{\text{STO Bbls./Acre-ft}}{\text{STO Bbls./Acre-ft}} \times 100 = \frac{614}{1241} \times 100 = 49.5\%$$

$$\% \text{ Recup. Sup.} = \frac{WR}{\frac{B}{A}} \cdot \frac{\text{STO Bbls./Acre-ft}}{\text{STO Bbls./Acre-ft}} \times 100 = \frac{676}{1241} \times 100 = 54.5\%$$

$$WR = 49.5\% \quad \text{Inf.} \quad (2)$$

$$WR = 54.5\% \quad \text{Sup.}$$

2.- Segunda Fórmula

Para reservorios de impulsión de agua, es aplicable la fórmula de Craze - Buckley - ARPS que se define:

$$WR = 0.114 + 0.272 \log K + 0.256 S_w - 0.136 \log \frac{B_o}{B} - 1.538$$

$$\beta = 0.00035 \text{ h}$$

siendo

$$h = \text{potencia de arena productiva} \quad 28 \text{ ft.}$$

$K = \text{permeabilidad promedio} \quad 925 \text{ md.}$ (se justificará después) los otros valores ya definidos y conocidos; sustituyendo

$$WR = 0.114 + 0.272 \log 925 / 0.256 \times 0.2 - 0.136 \log 2.2 - 1.538 \beta -$$

$$0.00035 \times 28$$

efectuando se obtiene:

$$WR = 58.0\% \quad (3)$$

Teniendo en consideración las excelentes condiciones productivas del reservorio por su porosidad, permeabilidad, etc. cuanto por lo tecnicamente bien llevado, en su explotación me ha permitido tomar un factor de recuperación de

WR = 55.0%

Factor de Recuperación Promedio
del Reservorio Fiorella

Recordemos además que primitivamente he tomado el caso ideal de considerar como nula la zona de transición agua petróleo.

2.- Reservas Recuperables. -

Sabemos que $N = 13'621,807$ bbls. (petróleo original), además he estimado el factor de recuperación en 55.0%, entonces las Reservas Recuperables serán:

$$R.R = N \times WR = 13'621,807 \times 0.55$$

$$RR = 7'500,000 \text{ Bbls.}$$

Hoja de Cálculos.- I

Volumen Reservorio de la Arenisca Fiorella

Fórmula Trapezoidal (V_t)

$$V_t = h \left(\frac{1}{2} a_0 + a_1 + a_2 + \dots + a_{n-1} + \frac{1}{2} a_n \right)$$

1.- Para la región del w.T. a la linea estructural inf.:

$$V_t = \frac{2}{2} (1'580,040 + 1'278,058) = 2'858,098 \text{ m}^3$$

$$V_t = 2'858,098 \text{ m}^3 \quad (1)$$

2.- Para las lineas que siguen el contorno regular:

$$V_t = 5 \left(\frac{1}{2} \times 1'278,058 + 825,278 + 426,247 + 200,942 \right.$$

$$\left. + \frac{1}{2} \times 69,099 \right)$$

$$V_t = 5 (639,029 + 825,278 + 426,247 + 200,942 + 34,549)$$

$$V_t = 5 (2'126,045) = 10'630,225 \text{ m}^3 \quad (2)$$

El volumen total Trapezoidal será: (1) + (2)

$$\underline{V_t = 13'488,323 \text{ m}^3}$$

Fórmula de Simpson (V_s)

$$V_s = \frac{h}{3} (a_0 + 4a_1 + 2a_2 + 4a_3 + \dots + 2a_{n-2} + 4a_{n-1} + a_n)$$

1.- Para la región del w.T. a la l.e.i.:

$$V_s = 2'858,098 \text{ m}^3 \quad (\text{Form. Trapz. arriba}) \quad (a)$$

$$V_s = \frac{h}{3} (a_1 + \sqrt{a_1 a_2} + a_2) \quad (\text{Form. Piramidal abajo})$$

$$V_s = \frac{2}{3} (1'580,040 + \sqrt{1'580,040 \times 1'278,058} +$$

$$+ 1'278,058)$$

$$V_s = \frac{2}{3} (2'858,098 + \sqrt{2"019,382'762,320})$$

$$V_s = 2'852,765 \text{ m}^3 \quad (\text{b})$$

Promediando (a) y (b) obtenemos:

$$V_s = 2'855,431 \text{ m}^3 \quad (\text{l})$$

2.- Para las líneas que siguen el contorno regular:

$$V_s = \frac{5}{3} (1'278,058 + 4 \times 825,278 + 2 \times 426,247 + \\ + 4 \times 209,942 + 69,099)$$

$$V_s = \frac{5}{3} (6'304,531) = 10'507,552 \text{ m}^3 \quad (\text{2})$$

El volumen total según Simpson será: (l) + (2)

$$\underline{V_s = 13'362,983 \text{ m}^3}$$

Fórmula Piramidal (V_p)

$$V_p = \frac{h}{3} (a_1 + \sqrt{a_1 a_2} + 2a_2 + \sqrt{a_2 a_3} + 2a_3 + \dots + \\ + \sqrt{a_{n-1} a_n} + a_n)$$

1.- Para la región del w.T. a la l.e.i.:

$$V_p = 2'852,765 \text{ m}^3 \quad (\text{l}) \quad (\text{desarrollada arriba})$$

2.- Para las líneas que siguen el contorno regular:

$$V_p = \frac{5}{3} (1'278,058 + \sqrt{1'278,058 \times 825,278} + \\ + 2 \times 825,278 + \sqrt{825,278 \times 426,247} + \\ + \sqrt{426,247 \times 209,942} + 2 \times 209,942 + \\ + \sqrt{209,942 \times 69,099} + 69,099 + 2 \times 426,247)$$

$$V_p = \frac{5}{3} (4'252,091 + \sqrt{1"054,753'150,124} +)$$

$$+ \sqrt{351,772'271,666} + \sqrt{85,650'924,674} + \\ + \sqrt{13,884'891,258}$$

$$V_p = \frac{5}{3} (6'282,701) = 10'471,168 \text{ m}^3 \quad (2)$$

El volumen total Piramidal será: (1) y (2)

$$\underline{V_p = 13'323,933 \text{ m}^3}$$

El volumen Reservorio promedio según las tres fórmulas es:

$$V = \frac{1}{3} (13'488,323 + 13'362,983 + 13'323,933)$$

$$V = 13'391,746 \text{ m}^3 \quad (\text{A}) \quad (\text{sin considerar el vol. superior de la estructura})$$

Volumen Superior de la Estructura (V_{se})

1.- Considerado como Pirámide.- $h = 5 \text{ m}$

$$V_{se} = \frac{1}{3} (h \times a)$$

$$V_{se} = \frac{1}{3} (5 \times 69,099) = 115,165 \text{ m}^3 \quad (1)$$

2.- Considerado como Segmento Esférico.- $h = 5 \text{ m}$

$$V_{se} = \frac{\pi}{6} \times h^3 + \frac{a \times h}{2}$$

$$V_{se} = \frac{\pi}{6} \times 5^3 + \frac{5 \times 69,099}{2} = 172,813 \text{ m}^3 \quad (2)$$

El vol. promedio Sup. de la Estructura será: (1) + (2) /2

$$V_{se} = 143,989 \text{ m}^3 \quad (\text{B})$$

Por tanto el Volumen Reservorio Total sera según (A) y (B),

$$V_R = V + V_{se}$$

$$V_R = 13'341,746 + 149,989$$

$$\underline{V_R = 13'535,735 \text{ m}^3}$$

Volumen Reservorio en Acres-pié

$$V_R = 13'535,735 \text{ m}^3 = X \text{ Acres-pié} \quad (1)$$

$$X = 13'535,735 \text{ m}^3 / \text{Acres-pié} = \frac{13'535,735}{43,560} \times \frac{\text{pie}^3}{\text{pie}^3}$$

$$X = 10,974 \quad \text{sustituyendo en (1)}$$

$$\underline{V_R = 10,974 \text{ Acres-pié}}$$

Por lo tanto será:

$$V_R = 13'535,735 \text{ m}^3$$

VOLUMEN RESERVORIO

$$V_R = 10,974 \text{ Acres-pié}$$

FORMACION FLORELLA

Petróleo Original del Reservorio Fiorella

$$N = 7,758 \frac{V_R \phi (1 - S_w)}{B_o} \quad (1)$$

los datos son:

V_R	10,974	aerres-pié
ϕ	20 %	
S_w	20 %	
B_o	1.05	

sustituyendo en (1)

$$N = 7,758 \frac{10,974 \times 0.2 \times 0.8}{1.05} \text{ Bbls.}$$

$$N = 13'621,807 \text{ Bbls.} \quad \text{PETROLEO ORIGINAL}$$

Reservas Recuperables del Reservorio Fiorella

Factor de Recuperación.- Primero (WR)

$$WR = 7,758 \phi \left(\frac{1 - S_w}{B_o} - S_{or} \right) \text{ STB/aereo-pié} \quad (1)$$

$$WR = 7,758 \times 0.2 \left(\frac{1 - 0.2}{1.05} - S_{or} \right) \quad (2)$$

Para hallar el término $B S_{or}$ sabemos que: o 2.2 sp.

y K 350 md. (límite inf.) y K 1500 md. (límite sup)

Hoja de Cálculos.- VI

usando la tabla respectiva tenemos que:

para $\mu_0 = 2.2$ cp.

$K = 400$ md. será $B S_{or} = 0.37$

entonces corrigiendo para nuestros valores:

$$K = 350 \text{ md. desviación de } B S_{or} = + 0.015 \\ y B S_{or} = 0.37 + 0.015 = 0.385$$

$$K = 1500 \text{ md. desviación de } B S_{or} = - 0.0275$$

$$\text{luego } B S_{or} = 0.37 + (-0.0275) = 0.3425$$

Sustituyendo en (2) y considerando para el caso que $B = B_0$ (sin mucho error) obtenemos:

$$WR = 7,758 \times 0.2 \left(\frac{1 - 0.2 - 0.385}{1.05} \right) = 614 \text{ STB/acre-pié}$$

$$WR = 7,758 \times 0.2 \left(\frac{1 - 0.2 - 0.3425}{1.05} \right) = 676 \text{ STB/acre-pié}$$

De otro lado en nuestro reservorio, el número de barriles por acre-pié será:

$$\frac{N}{V_R} = \frac{13'621,807 \text{ STB}}{10,974 \text{ acre-p}} = 1,241 \text{ STB/acre-pié}$$

por lo tanto los porcentajes de recuperación esperados son:

$$R = \frac{614}{1,241} \times 100 = 49.5 \% \text{ Inferior}$$

$$R = \frac{676}{1,241} \times 100 = 54.5 \% \text{ Superior}$$

Hoja de Cálculos.- VII

Factor de Recuperación.- Segundo (WR)

La fórmula empírica de Craze-Buckley-Arps define este factor para reservorios de impulsión por agua:

$$WR = 7,758 \frac{\phi}{Boi} \left(\frac{1 - S_w}{Boi} \right) \left[0.114 + 0.272 \log K + 0.256 S_w \right. \\ \left. - 0.136 \log \phi - 1.538 \phi - \right. \\ \left. - 0.00035 h \right] \text{ STB/acre-pie}$$

siendo h = potencia de arena productiva = 28 pies y

K = 925 md. perm. promedio (este dato se justifica después). Por tanto

$$WR = 7,758 (0.2) \left(\frac{1 - 0.2}{1.05} \right) \left[0.114 + 0.272 \log 925 + \right. \\ \left. + 0.256 \times 0.2 - 0.136 \log 2.2 \right. \\ \left. - 1.538 \times 0.2 - 0.00035 \times 28 \right]$$

$$WR = 7,758 \times \frac{0.16}{1.05} \left[0.114 + 272 \times 2.966 + 0.0512 - \right. \\ \left. - 0.136 \times 0.343 - 0.3076 - 0.0098 \right]$$

$$WR = 1,241 / 1.05 \left[0.114 + 0.80675 + 0.0512 - 0.04664 - \right. \\ \left. - 0.3076 - 0.0098 \right]$$

$$WR = 1,241 / 1.05 \left[0.6079 \right] = 720 \text{ STB/acre-pie}$$

y el porcentaje de recuperación segundo será:

$$R = \frac{720}{1,241} \times 100 = \underline{\underline{58.0\%}}$$

III.- PREDICCIÓN DE PERFORMANCE - PROGRAMAS

A.- Propiedades del Reservorio Piorella

1.- Presión y Temperatura.- El cuadro que a continuación se expone, es el registro de las presiones y temperaturas de 4 pozos del reservorio; los mismos que se tomaron antes del inicio de la producción:

Pozo	Prof.	Presión	Temperatura	Grad. Presión	Grad. Temp.
	ft. _s	psia	°F	psi/ft. _s	°F/ft. _s
S-1	2083	979	200	0.470	0.104
	1969	936	176	0.475	0.112
S-2	2001	962	178	0.481	0.112
	1640.5	857	158	0.508	0.104
	2083	980	200	0.470	0.104
	1804.5	886	167	0.491	0.108
	2024	962	180	0.476	0.112
	1640.5	830	158	0.505	0.104
Prom.				0.484	0.107

Al observar el mismo, se comprueba fácilmente que la Gradiente de presión promedio, es ligeramente mayor que los gradientes promedio, cuyo valor es del orden de 0.465 psi/ft. correspondiente a la presión ejercida por una columna de agua salada con 5% de total de sólidos. De acuerdo a las medidas de las presiones de fondo para todos los 7 pozos productores del reservorio, el promedio para el mismo resulta 973 psia., antes de la producción, es decir que $P_0 = 973$ psia. es la presión inicial del reservorio; obtenida sobre la base del promedio aritmético de las presiones individuales de los pozos.

Lo que si es notorio en el reservorio Piorella, es su gradiente geotípico sumamente elevado, pues observemos que ella es del orden de los 10.7°F por 100 ft.; en contra posición las gradientes

normales en los diversos campos del mundo son del orden de 1°F a 2°F por cada 100 ft., o sea que en el campo Selva las gradientes geotérmicas es de 5 a 10 veces superior que las gradientes normales. Debe mencionar que esta gradiente no solo corresponde a este campo, sino que también se ha hallado en los otros campos productores de la Selva peruana (v.g Campo Agua Caliente en el Pachitea). Al presente no existe un estudio en relación a este fenómeno. La temperatura inicial promedio del reservorio se ha estimado en $T_0 = 193^{\circ}\text{F}$.

2.- Gas en solución.- Factor de Volumen de Formación

Otra característica muy particular a nuestro reservorio, y a otros en la Selva, es la ausencia, prácticamente de gas en solución. En efecto las medidas de GOR dieron relaciones del orden de 0.8: 1.0 y de 1.0: 1.0 ft^3/m^3 ; es decir GOR de aproximadamente $5 \text{ ft}^3/\text{bbl}$. Si tomamos en cuenta, las condiciones de presión y temperatura así como la gravedad del crudo (0.837 ó 37.5 API), deberíamos obtener un GOR del orden de los $250 - 300 \text{ ft}^3/\text{bbl}$; tan notable diferencia y la magnitud prácticamente fuera de escala del GOR del reservorio, hace que consideremos el crudo como un "petróleo muerto" es decir sin gas en solución; por lo tanto para todos los efectos consideraremos GOR = 0 y nuestro reservorio será del tipo de Sistema de dos fases. Tan poco existen para este fenómeno ningún estudio.

Si tenemos en cuenta las características de presión, temperatura y GOR, en los gráficos respectivos se hallan valores de 1.04 y 1.07 para el Factor de Volumen de Formación. Quien sobre una fórmula típica para hallar este FVF sea la propuesta:

$$B_0 = 1.05 + 0.0005 R_g$$

3.- Salinidad del Agua Intersticial.- Saturación de Petróleo Residual.

Un fenómeno sumamente interesante y muy particular también a nuestro reservorio Piorella es el relativo a la salinidad de su agua intersticial (cavata). Observemos el siguiente cuadro comparativo de los análisis del contenido salino entre 2 pozos de nuestro reservorio y pozos de otras áreas; los resultados se reportan en miligramos por litro.

No. de Análisis	Sistema	Forma- ción	Principales const. mg/lit.				Total Soli- dos mg/lit.
			H ₂	HCO ₃	SO ₄	Cl	
8 - 4	Cretácico	Piorella	79	211	0	Min.	290
8 - 2	Cretácico	Piorella	503	940	297	0	1,742
6	Cretácico	Frontier	820	340	0	820	1,980
		USA 8200	4900	90	12800		25,990
43	Cretácico	F.Wall Creek	200	1000	T	220	1,440
		USA 5320	5460	60	5940		16,780
50	Cretácico	S.Wall Creek	1740	890	T	1170	3,800
		USA 7000	6950	880	6600		21,430
3	Cretácico	Viking	6400	580	20	6400	13,400
		Canada 19000	840	40	29200		49,080
27	Cretácico	Blairmore	2200	190	0	2800	5,190
		Canada 20300	1300	3500	38900		64,000
7	Cretácico	Lagunillas Form Iota	2000	5260	0	90	7,350
		Venezuela					

a la cada columna los valores indican los mínimos y máximos dentro del total del número de análisis.

Finalmente se concluye que el agua cociente de nuestro reservorio Fiorella, presenta una salinidad suavemente reducida y muy inferior a la mayoría de las que se presentan en los reservorios de otras latitudes. Si consideramos que la composición del agua de mar contiene 34,540 ppm. de elementos salinos, se puede concluir que prácticamente el agua del reservorio Fiorella es dulce. Este fenómeno sumamente interesante queda reflejado al observar el registro eléctrico del pozo Selva 1, en la curva de potencial espontáneo; la desviación de la misma en vez de seguir el curso negativo (hacia la izquierda) se desvía hacia la parte positiva (hacia la derecha). La explicación de esta aparente anomalia es la dulzura del agua de formación en contrapunto con la del agua del todo de perforación.

Dada a esta última razón, la interpretación cuantitativa a partir de los registros eléctricos, de las características de la formación, es prácticamente imposible pues ese fuera de lo convencional. Por esta razón el RDS (S_{cr}) lo he asumido a partir de las características físicas de la roca reservorio de acuerdo a la tabla No.3 y teniendo en cuenta la gravedad del crudo. El valor, conservador, obtenido para la saturación de petróleo residual es $S_{cr} = 0.33$ este valor aparentemente un poco alto, no es tal si consideramos también que nuestro petróleo no tiene gas; en efecto "experiencias de laboratorio han demostrado que la recuperación del WD se mejora como resultado del establecimiento de una saturación libre, de gas en el reservorio. Son varias las razones para sostener tal afirmación. Una de ellas establece que dando que la tensión interfacial del sistema gas-petróleo

CUADRO N° 3

Tabla para la Elección del Término S_{or}

Corrección por tendencia de viscosidad para $K = 400$ md

Viscosidad del petróleo, μ , cps	Petróleo residual en el reservorio, $B S_{or}$
0.20	0.30
0.5	0.32
1.0	0.345
2.0	0.37
5.0	0.405
10.0	0.435
20.0	0.465

Corrección por tendencia de permeabilidad $K \neq 400$

Permeabilidad promedio, md, K_{av}	Desviación de $B S_{or}$ por tendencia de la viscosidad
50	0.12
100	0.09
200	0.06
400	0.00
500	-0.02
1000	-0.01
2000	-0.045
5000	-0.085

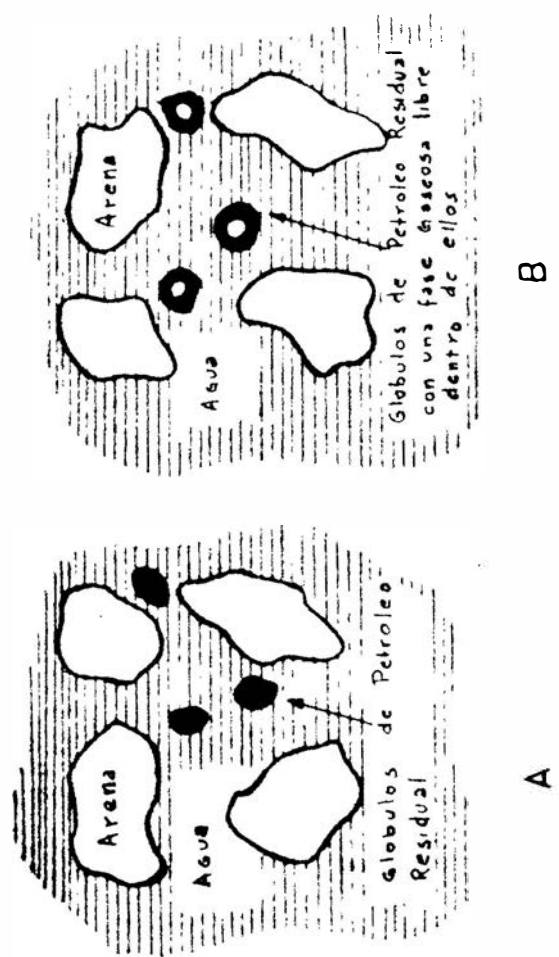
en que que la del sistema gas-agua, en un sistema de tres se-
nes conteniendo gas, petróleo, agua, los fluidos del reservorio
vuelven a condensarse adasándose con la menor relajación de energía.
Este caso implicaría que las soluciones de gas se encierran

entre si como en un caso de petróleo. Ento lentamente el ta-
mado creciente de cualquier fluido de petróleo que encierre algo
de gas. Cuando el petróleo es desplazado por el agua, los flu-
idos de petróleo se reducen al mismo tiempo de acuerdo a la
cantidad de agua. Si existe una burbuja de gas dentro de un
caso de petróleo, la sustancia de petróleo residual dejado en
el reservorio, se reduciría por el tamaño de la burbuja de gas
que está dentro del fluido de petróleo. Ento se ilustra en
la siguiente figura. Se puede ver que los diámetros exteriores de
los fluidos de petróleo residual son los mismos en ambas vistas.
Sin embargo la vista A, el centro del fluido residual de petróleo,
no es petróleo sino gas. Por lo tanto en la vista B, la satura-
ción natural de petróleo está reemplazada por el tamaño de la bur-
buja de gas dentro del fluido de petróleo".

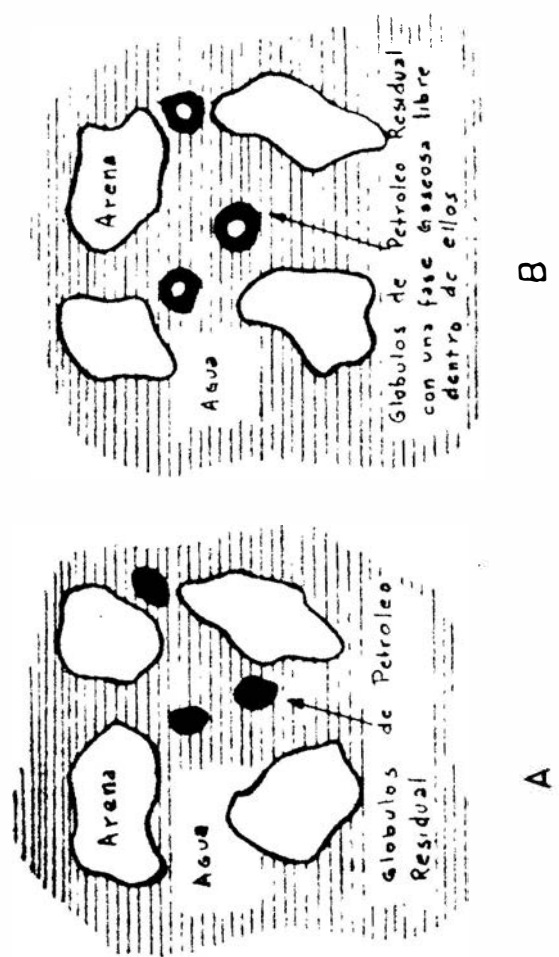
B.- Fretilación de Performance del Reservorio. - Programa de
Investigación.

1.- El reservorio Morelos produce por impulsión de agua. - M.

En efecto si observase la tabla y el gráfico de pro-
ducción cumulada ya, producida hasta Agosto de 1964:



B



A

Año	PRODUCCION		Presión Fria.
	Petroleo Bbls.	Aqua Bbls.	
Ago. 1959	0	0	973 (P ₀)
Ago. 1960	28,520	0	966
Ago. 1961	214,629	0	964
Ago. 1962	713,289	1,024	963
Ago. 1963	1'178,114	5,428	962
Ago. 1964	1'592,269	20,000	-

inalmente vemos que la declinación de la presión es gradual y lenta, siendo las variaciones prácticamente negligibles. Esta característica es típica de los reservorios que producen por impulsión por agua (water drive); considerando casos de reservorios de este tipo, que producen miles y miles de barriles por una pocas libras de caída de presión. En el caso de nuestro reservorio Morella estamos palpando, que el remplazamiento del petróleo (no hay producción de gas) que se extrae, se produce prácticamente volviendo por volviendo por el agua que viene dentro de nuestro reservorio.

También observamos las caídas súbitas de producción de agua, las mismas que corresponde a los pozos que ya no extraen totalmente. Indicamos esto de que el agua muestra signos de una muy mala, debido también a la homogeneidad de la arena productiva.

Como nuestro reservorio no posee casquete de gas, al gas en abundancia, por tanto la presión del mismo es mantenida por la inyección de agua.

2.- Ecuaciones de Performance del Reservorio.

Dos son las ecuaciones básicas para fijar o predecir el comportamiento de un reservorio por impulsión de agua, estas ecuaciones son:

a.- Ecuación de incursión de agua (Water Encroachment)

b.- Ecuación de balance de materiales

c.- Ecuación de Inmersión de Agua.- La ecuación generalizada para la incursión de agua tiene la forma típica de:

$$i \neq i \\ w_0 = C \sum_{\theta} p(\theta) (\Delta \theta)$$

en donde C representa la constante de incursión de agua, y P (θ) es la presión en función del tiempo.

En su forma más simple sería:

$$P(\theta) = \Delta P \quad (\text{Schnilthuis})$$

y la ecuación sería una de estado continuo, pues es evidente que sin considerar la magnitud de las presiones, o del tiempo, involucrados, una caída de presión dada, durante un específico intervalo, siempre dará idénticos valores de incursión de agua. Una corrección por tiempo es considerar $P(\theta) = P/\log \theta$ (Hurst). En estos casos es P = presión acústica menos presión media del campo.

En reservorios como el maestro con una activa incursión de agua, si usamos ecuaciones del estado continuo, no rendirán predicciones reales.

Por ello la fórmula a utilizar corresponde a una de estado Momentáneo propuesta por los autores Hurst and Van Everdingen; ellos consideran en la forma típica anterior que

$$P(\theta) \Delta \theta = Q(t_p) \Delta P$$

en donde t_d es un tiempo adimensional y P es cualquier desili-
nación finita de la presión.

El valor de t_d es obtenido a partir de:

$$t_d = \frac{k t}{\mu g c R^2}$$

donde

t_d - tiempo adimensional

t - tiempo, segundos

k - permeabilidad, darcys

μ - viscosidad, centipoises

ϕ - porosidad, fracción

c - compresibilidad efectiva del agua,
vol/vol/atmóst.

R - radio del reservorio, centímetros

Si reducimos la anterior ecuación a las unidades usuales de
 t = días; k = darcys; c = cp; ϕ = fracción; ϵ = vol/vol/psi;
y R = ft, resulta en:

$$t_d = 6.323 \frac{kt}{\mu \phi c R^2} \quad (a)$$

La ecuación de la inyección de agua resultante es:

$$V_e = 1.119 \phi c R^2 \Delta P Q(t)$$

$$6 \quad V_e = B \Delta P Q(t) \quad (b)$$

en donde

V_e - inyección de agua acumulativa, bbles.

ΔP - caída de presión, psi.

$Q(t)$ - inyección de agua, adimensional (Tablas)

$$B = 1.119 \phi c R^2$$

Las fórmulas se deducen a partir de la ecuación de difusividad. Por la naturaleza edimensional del tiempo y de la incursión de agua, las soluciones de tal ecuación son generales y pueden aplicarse a cualquier reservorio en donde el flujo de agua es de naturaleza radial. Las ecuaciones a y b son las que utilizaré para elaboración de los programas de producción.

Paraclarar conceptos en cuanto a las deducciones de la fórmula, estos se hallan desarrollados en las hojas de cálculo.

b.- Ecuación de Balance de Materiales.- La ecuación general de balance de materiales es:

$$\frac{B_o - B_p}{B_{oi}} = \frac{\frac{B_g}{B_{g1}} [B_g (R_g - R_{g1})] - (W_o - W_p)}{B_{oi} [(B_g/B_{g1}) - 1] + B_g (R_{g1} - R_g) - (B_{oi} - B_o)}$$

donde:

B_o = petróleo original

B_p = petróleo producido

B = Factor volumen formación, general (gas-petróleo, inicial etc.)

R = Gas de solución general (inicial, producido etc.)

W_o = agua incursionada en el reservorio

W_p = agua producida

R = relación tamaño: reservorio, casquete de gas

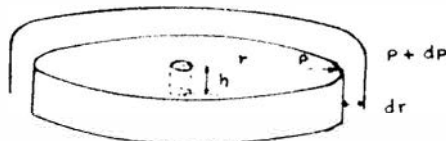
Anteriormente puntualizamos que se consideraría la no existencia de gas en reservorio; por lo tanto la ecuación anterior se reduce a:

$$\frac{B_o - B_p}{B_{oi}} = \frac{(B_o) - (W_o - W_p)}{B_o - B_{oi}}$$

en relación al agua de incursión (W_o) la ecuación toma la forma

Ecuación de Incusión de Agua (Te)

Tenemos el siguiente sistema radial



el volumen de algún elemento con radio r es:

$$V = \pi r^2 h \phi \quad (1) \quad \text{si diferenciamos}$$

$$dV = 2\pi r h \phi dr \quad (2)$$

siendo dV el volumen elemental desarrollado como resultado de incrementar el radio del elemento de r a $r + dr$. - De otro lado la compresibilidad de un fluido, ligeramente comprimible, puede expresarse como el cambio en volumen por unidad de volumen por unidad de caída de presión, o:

$$c = \frac{1}{V} \frac{dV}{dp} \quad (3)$$

aquí el término V equivale al término dV de (2), si sustituímos esta ec. en (3) y resolvemos para dV , el cambio en volumen del elemento incremental con un cambio en la presión dp , resulta en

$$dV = c 2\pi r h \phi (dr)(dp) \quad (4)$$

el intervalo de cambio de este volumen incremental es:

$$\frac{dV}{dt} = c 2\pi r h \phi (dr) \left(\frac{dp}{dt} \right) \quad (5)$$

de la ecuación de continuidad es:

$$\frac{dV}{dt} = dq \quad (6) \quad \text{combinando (5) y (6)}$$

$$dq = c 2\pi r h \phi \left(\frac{dr}{dt} \right) \left(\frac{dp}{dt} \right) \quad (7)$$

o también

$$\frac{dq}{dr} = c \cdot 2\pi rh \phi \left(\frac{dp}{dt} \right) \quad (8)$$

la ecuación de Darcy para el flujo radial es:

$$q = \frac{2\pi K h r}{\mu} \left(\frac{dp}{dr} \right) \quad (9) \text{ si diferenciamos}$$

$$\frac{dq}{dr} = \frac{2\pi K h}{\mu} \left(r \frac{d^2 p}{dr^2} + \frac{dp}{dr} \right) \quad (10)$$

combinando (8) y (10)

$$c \cdot 2\pi rh \phi \left(\frac{dp}{dt} \right) = \frac{2\pi K h}{\mu} \left(r \frac{d^2 p}{dr^2} + \frac{dp}{dr} \right) \quad (11)$$

simplificando y ordenando:

$$\frac{d^2 p}{dr^2} + \frac{1}{r} \frac{dp}{dr} = \frac{\mu \phi c}{K} \frac{dp}{dt} \quad (12)$$

si observamos que el terreno $\mu \phi c / K$ será "esencialmente constante para cada reservorio y lo hacemos igual a $1/\gamma$

$$\frac{d^2 p}{dr^2} + \frac{1}{r} \frac{dp}{dr} = \frac{1}{\gamma} \frac{dp}{dt} \quad (13)$$

Esta es la ecuación de "difusividad", que se ha usado para calcular el flujo de fluidos en medios porosos, así como para flujo de calor y electricidad. El término $\gamma = K / \mu \phi$ se conoce como constante de difusividad. Una solución de esta ecuación, con los datos adecuados, permite calcular el régimen de incursión de agua dentro de un reservorio.

Con el objeto de aplicar la ecuación de una manera independiente a las dimensiones del sistema y a las propiedades roca-fluido, se obtiene una solución más general utilizando

un tiempo reducido o adimensional; quedando la ec. (13):

$$\frac{d^2 p}{dr^2} + \frac{1}{r} \frac{dp}{dr} = \frac{1}{\eta} \frac{dp}{dt_D} \quad (14)$$

en esta ecuación es:

$$t_D = \frac{K t}{\mu \phi c R^2} \frac{\text{darcies} \times \text{segs.}}{\text{cp} \times \text{atm}^{-1} \times \text{cm}^2} \quad (\text{Tiempo adimensional})$$

que reducido a unidades comunes de días; cp; vol/vol/psi y pies resulta:

$$t_D = \frac{K t}{\mu \phi c R^2} \frac{24 \times 60 \times 60}{14.7 \times (2.54 \times 12)^2}$$

$$t_D = 6.323 \frac{K t}{\mu \phi c R^2} \quad (15)$$

La solución más conveniente para la Ingeniería de Reservorios, de la ecuación de la difusividad (sistema plano radial) pertenece a Van Everdingen y Hurst, los que mediante las transformaciones de Laplace resolvieron la ecuación y obtuvieron:

$$w_e = \frac{2 \pi o \phi R^2 h \Delta p Q(t)}{5.615}$$

$$w_e = 1.119 c \phi R^2 h \Delta p Q(t) \quad \text{en donde:}$$

w_e = incursión de agua acumulativa; bbls .

Δp = caída de presión; psi

$Q(t)$ = incursión de agua adimensional; tablas

5.615 = factor de conversión; ft^3 a bbls.

La ecuación anterior también se expresa:

$$W_e = B \times \Delta p Q(t) \quad (16)$$

$$\text{siendo } B = 1.119 \text{ c } \varnothing R^2 h \quad (17)$$

Las soluciones de Van Everdingen y Hurst están presentadas en la forma de tiempo adimensional (t_D) y de incursión adimensional, $Q(t)$, siendo por tanto de aplicación general para reservorios de incursión de agua radial. Las soluciones vienen en tablas y también en forma gráfica.

**RADIAL FLOW, CONSTANT TERMINAL PRESSURE AND CONSTANT
TERMINAL RATE CASES FOR INFINITE RESERVOIRS**
(After van Everdingen and Hurst; courtesy AIME)

t_0	Q_{in}	P_{in}	t_0	Q_{in}	P_{in}
$1.0 \cdot 10^{-2}$	0.112	0.112	$3.0 \cdot 10^2$	$10.58 \cdot 10^1$	3.963
$5.0 \cdot 10^{-2}$	0.221	0.221	$5.0 \cdot 10^2$	$13.42 \cdot 10^1$	3.466
$1.0 \cdot 10^{-1}$	0.404	0.315	$8.0 \cdot 10^2$	$16.24 \cdot 10^1$	3.316
$1.5 \cdot 10^{-1}$	0.520	0.376	$1.0 \cdot 10^3$	$21.60 \cdot 10^1$	3.608
$3.0 \cdot 10^{-1}$	0.606	0.429	$8.0 \cdot 10^2$	$20.23 \cdot 10^1$	3.689
$8.8 \cdot 10^{-1}$	0.689	0.469	$9.0 \cdot 10^2$	$26.77 \cdot 10^1$	3.780
$2.0 \cdot 10^{-1}$	0.751	0.503			
$4.0 \cdot 10^{-1}$	0.878	0.569	$1.0 \cdot 10^3$	$29.34 \cdot 10^1$	3.860
$8.0 \cdot 10^{-1}$	1.020	0.616	$1.5 \cdot 10^3$	$4.136 \cdot 10^2$	
$1.6 \cdot 10^{-1}$	1.140	0.659	$2.0 \cdot 10^3$	$5.315 \cdot 10^2$	
$2.0 \cdot 10^{-1}$	1.281	0.701	$2.5 \cdot 10^3$	$6.466 \cdot 10^2$	
$4.0 \cdot 10^{-1}$	1.363	0.735	$3.0 \cdot 10^3$	$8.590 \cdot 10^2$	
$9.0 \cdot 10^{-1}$	1.469	0.772	$9.0 \cdot 10^2$	$9.757 \cdot 10^2$	
			$5.0 \cdot 10^3$	$11.98 \cdot 10^2$	
1.0	1.570	0.802	$6.0 \cdot 10^3$	$13.95 \cdot 10^2$	
1.5	2.032	0.937	$7.0 \cdot 10^3$	$15.99 \cdot 10^2$	
2.0	2.492	1.020	$8.0 \cdot 10^3$	$18.00 \cdot 10^2$	
3.0	2.838	1.101	$9.0 \cdot 10^3$	$19.99 \cdot 10^2$	
3.0	3.209	1.169			
4.0	3.597	1.275	$1.0 \cdot 10^4$	$21.96 \cdot 10^2$	
6.0	4.541	1.368	$1.5 \cdot 10^4$	$3.146 \cdot 10^3$	
6.0	5.104	1.386	$2.0 \cdot 10^4$	$4.079 \cdot 10^3$	
7.0	5.799	1.600	$3.0 \cdot 10^4$	$6.994 \cdot 10^3$	
1.0	6.819	1.856	$3.0 \cdot 10^4$	$5.891 \cdot 10^3$	
2.0	7.86	1.804	$4.0 \cdot 10^4$	$7.620 \cdot 10^3$	
			$5.0 \cdot 10^4$	$9.342 \cdot 10^3$	
-0.01	2.617	1.651	$6.0 \cdot 10^4$	$11.03 \cdot 10^3$	
$1.5 \cdot 10^{-1}$	9.965	1.929	$8.0 \cdot 10^4$	$12.69 \cdot 10^3$	
$2.0 \cdot 10^{-1}$	1.229 (10^1)	1.960	$1.0 \cdot 10^5$	$14.33 \cdot 10^3$	
$3.0 \cdot 10^{-1}$	1.485 (10^1)	2.067	$9.0 \cdot 10^4$	$15.91 \cdot 10^3$	
$3.0 \cdot 10^{-1}$	1.64 (10^1)	2.107			
$4.0 \cdot 10^{-1}$	2.088 (10^1)	2.202	$1.0 \cdot 10^5$	$17.56 \cdot 10^3$	
$5.0 \cdot 10^{-1}$	2.492 (10^1)	2.308	$1.5 \cdot 10^5$	$2.837 \cdot 10^4$	
$6.0 \cdot 10^{-1}$	2.860 (10^1)	2.426	$2.0 \cdot 10^5$	$3.307 \cdot 10^4$	
$7.0 \cdot 10^{-1}$	3.218 (10^1)	2.560	$3.0 \cdot 10^5$	$4.966 \cdot 10^4$	
$1.0 \cdot 10^{-1}$	3.591 (10^1)	2.645	$3.0 \cdot 10^4$	$4.817 \cdot 10^4$	
$9.0 \cdot 10^{-1}$	3.992 (10^1)	2.671	$4.0 \cdot 10^5$	$6.267 \cdot 10^4$	
			$5.0 \cdot 10^5$	$7.699 \cdot 10^4$	
$-0 \cdot 10^2$	9.304 (10^1)	2.723	$6.0 \cdot 10^5$	$9.113 \cdot 10^4$	
$5 \cdot 10^2$	5.990 (10^1)	2.921	$7.0 \cdot 10^5$	$10.31 \cdot 10^4$	
$1.0 \cdot 10^2$	2.596 (10^1)	3.069	$8.0 \cdot 10^5$	$11.41 \cdot 10^4$	
$1.5 \cdot 10^2$	9.120 (10^1)	3.178	$9.0 \cdot 10^5$	$13.26 \cdot 10^4$	

$$V_e (\text{mb}) = (H_p B_o \times V_p) - H (B_o - B_{o_i})$$

que es la de aplicación inmediata a nuestro caso.

3.- Forma de aplicación de las ecuaciones.-

De la solución teórica, parece que se podría calcular la incursión de agua a partir de la geometría del reservorio, de sus propiedades físicas y de las propiedades físicas del agua. Sin embargo, esto generalmente no es posible en la práctica debido a las dificultades en la determinación de valores precisos o representativos de la permeabilidad y de la potencia de arena productiva. Sobre todo el valor de la permeabilidad generalmente se determina de manera optimista, y los análisis de los cores rinden valores demasiado altos, a pesar de razonables correcciones por efecto de Klinkenberg y de saturación, de manera que tales valores son raramente representativos de la roca reservorio. También son causas de error en la apreciación de la permeabilidad representativa del campo, la presión geostática y la hidratación de las crevillas.

La técnica más efectiva, usada para predecir el comportamiento de campos ED, consiste en calcular el régimen de incursión de agua a partir de las estadísticas pasadas. La fórmula generalmente usada para cálculo de la incursión de agua es:

$$V_e = B \sum \Delta p \times Q(t)$$

en donde $\sum \Delta p Q(t) = (P_1 - P_1')Q(t_1) + (P_1 - P_2)Q(t_2) + (P_{n-1} - P_n)Q(t_n)$,

en donde $P_1; P_2; \dots; P_{n-1}; P_n$ representan las reducciones de la presión en distintos períodos.

Sin embargo se ha hallado que en vez de usar la caída total de presión durante un primer periodo una mejor aproximación es utilizar $1/2 (P_1 - P_1)$ como efectiva durante todo ese primer periodo. Para el segundo periodo la caída de presión efectiva será entonces, la mitad de la caída durante el primer periodo, $1/2 (P_1 - P_1)$, mas la mitad de la caída de presión durante el segundo periodo $1/2 (P_1 - P_2)$ lo que se simplifica a:

$$1/2 (P_1 - P_1) + 1/2 (P_1 - P_2) = 1/2 (P_1 - P_2)$$

Durante un tercer periodo la caída efectiva de presión será la mitad de la segunda caída, $1/2 (P_1 - P_2)$, mas la mitad de la tercera $1/2 (P_2 - P_3)$ lo que se simplifica a: $1/2 (P_1 - P_3)$.

Lo anterior tiene su explicación en la naturaleza de la transmisión de la presión y su acción relativa a la incusión de agua. En efecto al imponer una reducción de presión al reservorio, $(P_1 - P_1)$, ésta se transmite en forma de ondas del reservorio a la cámara, originando una expansión de la misma, la cual, para que alcancen la presión final P_1 debe de pasar un determinado lapso.

Si algún tiempo después que se ha estabilizado la presión en P_1 , se reduce a otra P_2 , se formará una nueva onda dentro de la cámara; ésta nueva presión también causará expansión-incusión de la cámara dentro del reservorio. Sin embargo esta nueva caída no será $P_1 - P_2$, sino $P_1 - P_2$. Esta segunda onda de presión se estará moviendo detrás de la primera, y exactamente delante de la segunda onda de presión, estará la presión final de la pri-

"Dado que estas ondas de presión son sismadas que ocurrirán en diferentes lugares, ellas son enteramente independientes una de la otra. De este modo la expansión del agua continuará viendo lugar como resultado de la primera onda de presión, no obstante que adicional volviente de invasión de agua esta también viendo lugar como resultado de una o mas reducciones posteriores de presión. Con el objeto de determinar la invasión total de agua dentro del reservorio en cualquier momento, es necesario determinar la invasión de agua como resultado de cada una de tales sucesivas ondas de presión que han tenido lugar en el reservorio y la sumatoria."

b.- Valores del término B y t_d .- Por las mismas razones anteriores, tanto el término B como, t_d , no rinden a partir de su cálculo valores reales. En el primer caso $B = 1.219$ si r^2 , nos servirá como un valor guía de aproximación; y el valor mismo de B lo hallaremos de esta manera pasando a restringir esa la ec. de valores de matemática.

La evaluación del término t_d a partir de su ecuación $t_d = 6.323 R/t^2$, es también inadecuada y solo se considera como una aproximación, es posible sin embargo, al hallar el valor de R por estadísticas, ajustar los valores de t (como en nuestro caso) y a su forma razonable y de esta manera calcular valores más precisos de t_d .

b.- Cálculo de los valores de B y t_d

Las estadísticas de producción hasta Agosto de 1963 se recogen en la siguiente tabla (repetida) y gráfico No.4)

Fecha	Producción (Bols.)		Presión Prom.	Cambio P.u.
	Petróleo	Aqua		
Agosto 1959	0	0	973	P ₀
Agosto 1960	98,520	0	966	P ₁
Agosto 1961	214,629	9	964	P ₂
Agosto 1962	713,209	1,024	963	P ₃
Agosto 1963	1'170,114	5,420	962	P ₄
Agosto 1964	1'592,268	20,000	?	

Como las presiones se toman de año en año, el tiempo en días para el desarrollo de las predicciones será de 365. Generalmente se emplean lapeos de 6 meses, sin embargo por el motivo anterior y de las pequeñas caídas de presión, las predicciones anuales no arrojarán gran error.

Un valor másico de B estará dado por:

$$B = 1.119 \times c \times R^2 h$$

sabemos que

$$\sigma = 0.2$$

$$c = 2.721 \times 10^{-6} / \text{p.u.}$$

$$h = 28 \text{ ft.}$$

$$R = 2321 \text{ ft. } (R = 447.8 \text{ (A)}^{\frac{1}{3}} \text{ siendo A = acres})$$

sustituyendo

$$B = 1.119 \times 0.2 \times 2.721 \times 10^{-6} \times (2321)^2 \times 28$$

efectuando obtenemos B = 92

Histórico de Presión - Producción
Reservorio Fiorella (W.D.)

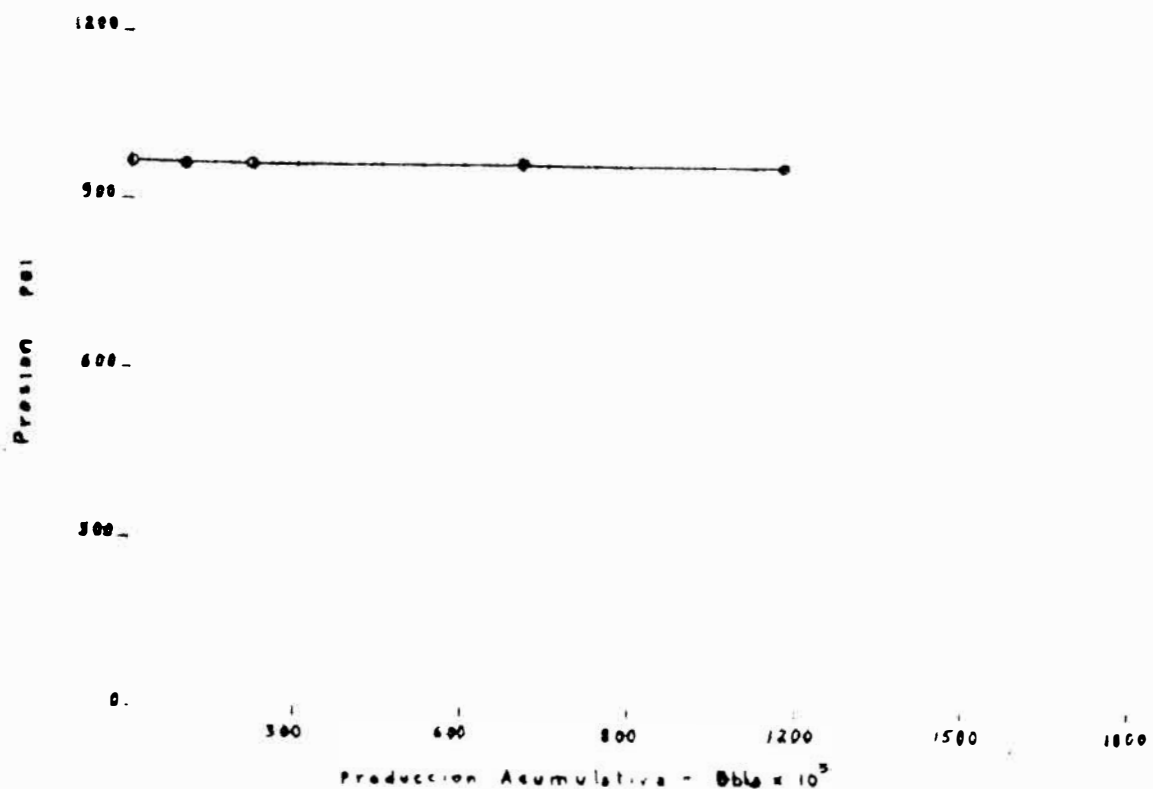


Fig. N° 4

Constante B vs. Tiempo
Reservorio Fiorella (W.D.)

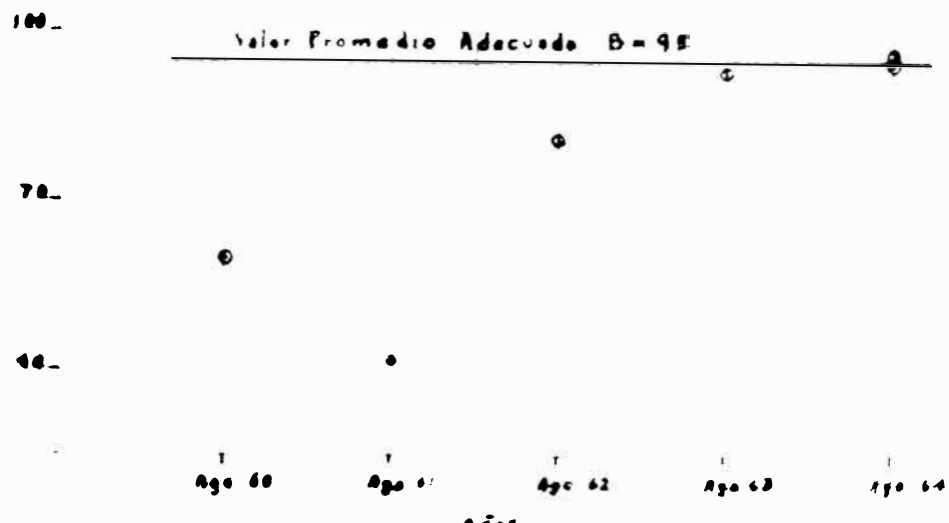


Fig. N° 5

De otro lado el valor aproximado de t_d , para el primer año de producción sería

$$t_d = \frac{6.323 \times 365 k}{0.430.2 \times 2.721 \times 10^{-6} \times (2332)^2} = \frac{2308 \times k}{1.184}$$

Si como se tenía pensado el valor de la permeabilidad fuese $k = 1225$ md; se obtendría que $t_d = 2388$

Ahora bien, trabajando con los valores de B y t_d se halla que los valores de B según estadísticas difieren sustancialmente con el valor guía de B. Esto implica las correcciones anteriormente mencionadas, sobre permeabilidad ó potencia de arena productiva. Se considerado en este caso que k es variable y h constante entonces:

si k variable	925 md. valor real
h constante	28 ft.

es decir que después de realizar los santos respectivos se halla que $k = 925$ md. que es el valor que anteriormente usado para cálculo de reservas recuperables y que queda justificado.

De acuerdo a tal valor de k hallamos que los valores reales de B (promedio gráfico.- Gráfico No.5) y t_d serán:

$$\begin{aligned} B &= 95 \quad \text{valores reales} \\ t_d &= 1802 \end{aligned}$$

estos valores serán utilizados en los diferentes programas de producción. Todos los detalles operacionales respecto a lo anterior están desarrollados en las hojas de cálculo.

5.- Predicción de Comportamiento de la presión e incursión de agua.-

Generalmente la predicción de la presión e incursión de

Obtención de los Valores de B y t_D para el R. Fiorella

El valor guía de B es: $B = 1.119 c \varnothing R^2 h$

los datos para nuestro reservorio son:

$$\varnothing = 20 \%$$

$$c = 2.721 \times 10^{-6} / \text{psi}$$

$$h = 28 \text{ pies}$$

$R = 2321 \text{ pies}$ (Radio promedio del reservorio se halla dado por $R = 117.8 (\frac{A}{\pi})^{1/2}$ en donde $A = \text{area total prod., acres}$)

luego:

$$B = 1.119 \times 0.2 \times 2.721 \times 10^{-6} \times 2321^2 \times 28$$

$$\underline{B = 92} \quad \text{Valor Guía}$$

Supongamos que $K = 1200 \text{ md.}$; el valor anual de t_D sería:

$$t_D = \frac{6.323 \times 1200 \times 365}{0.4 \times 0.2 \times 2.721 \times 10^{-6} \times 2321^2}$$

$$\underline{t_D = 2339}$$

Veamos si con este valor de t_D obtenemos el valor de B, similar al guía, a partir de las estadísticas de producción y según la relación:

$$B = \frac{\sum e(mb)}{\sum \Delta p \times Q(t)} \quad (A)$$

en donde "e(mb) viene a ser la incursión de agua a partir de la ecuación de balance de materiales.

Primer periodo (año 1960)

$$e(mb) = N_p t_0 + t_p - K (B_0 - B_{0i})$$

en vista de las caídas tan insignificantes de la presión, se puede simplificar sin mucho error la ecuación anterior considerando que el FVF del petróleo permanece constante e igual a $B_{0i} = 1.05$. (Las variaciones del producto $N_p B_0$ al variar los valores de B_0 en el orden de los milésimos a 100 milésimos, son tan solo de 1000 a 2000).

Por la misma razón el producto $N (B_0 - B_{0i})$ obtiene valores del orden de 1300 - 2700; aproximadamente 1000 más que los valores anteriores. Por lo tanto la ecuación del balance de materiales anterior, se puede simplificar a:

$$W_e(mb) = N_p (1.05) + W_p - 1000 \quad \underline{\text{aprox.}}$$

Luego para este primer periodo, según estadísticas en cuadro adjunto, obtenemos:

$$W_e(mb) = 98,520 (1.05) + 0 - 1000$$

$$W_e(mb) = 102,499 \text{ Bbls.} \quad (\text{a})$$

Para este primer periodo según el valor de t_D , hallado anteriormente, obtenemos en las tablas que $Q(t) = 6.035 \times 10^2$ y para la presión a 1960, tenemos el siguiente cuadro:

Periodo	t	t_D	$Q(t)$	p	Δp	$Q(t) \times \Delta p$
Ago/60 1	365	2339	6.035×10^2	966	3.5	21.123×10^2
						$\sum = 21.123 \times 10^2$

Nota.- $\Delta p = \frac{1}{2} (p_0 - p_1) = \frac{1}{2} (973 - 966) = 3.5$

entonces según la relación (A) el valor de B será:

$$B = \frac{102,499}{21.123 \times 10^2} = 48.5$$

Segundo periodo (Año 1961)

$$W_e(mb) = 214,629 (1.05) + 9 - 1000$$

$$W_e(mb) = 224,166 \text{ Bbls.} \quad (\text{a})$$

y se forma el siguiente cuadro:

Periodo	t	t _D	Q(t)	p	Δp	Q(t) x Δp
Ago/60 1	730	4678	11.196 x 10 ²	966	3.5	39.186 x 10 ²
Ago/61 2	365	2339	6.035 x 10 ²	964	4.5	27.158 x 10 ²

Nota.- Los valores de Q(t), salen de la tabla a partir de t_D

$$\Delta p = \frac{1}{2} (p_0 - p_2) + \frac{1}{2} (p_0 - p_2) = \frac{1}{2} (p_0 - p_2) = 4.5$$

el valor de B será:

$$B = \frac{224,166}{66.344 x 10^2} = 34$$

Tercer periodo (Año 1962)

$$W_e(mb) = 713,289 (1.05) + 1,024 - 1000$$

$$W_e(mb) = 748,687 \text{ Bbls.} \quad (\text{a})$$

Periodo	t	t _D	Q(t)	p	Δp	Q(t) x Δp
Ago/60 1	1095	7017	16.024 x 10 ²	966	3.5	56.084 x 10 ²
Ago/61 2	730	4678	11.196 x 10 ²	964	4.5	50.382 x 10 ²
Ago/62 3	365	2339	6.035 x 10 ²	963	1.5	9.052 x 10 ²

$$\sum 115.518 x 10^2$$

$$\text{Nota.- } \Delta p = \frac{1}{2} (p_1 - p_2) + \frac{1}{2} (p_1 - p_3) = \frac{1}{2} (p_1 - p_3)$$

$$\Delta p = 1.2 (966 - 963) = 1.5$$

el valor de B será:

$$B = \frac{746,687}{115.118 \times 10^2} = 65$$

Cuarto periodo (Año 1963)

$$w_e(mb) = 1'178,114 (1.05) + 5,428 - 1000$$

$$w_e(mb) = 1'241,204 \text{ Bbts.} \quad (\text{a})$$

Periodo	t	t _D	Q(t)	p	Δp	Q(t) × Δp
Ago/60 1	1460	9356	20.691x10 ²	966	3.5	72.418x10 ²
Ago/61 2	1095	7017	16.024x10 ²	964	4.5	72.108x10 ²
Ago/62 3	730	4678	11.196x10 ²	963	1.5	16.794x10 ²
Ago/63 4	365	2339	6.035x10 ²	962	1.0	6.035x10 ²
						$\sum 167,356x10^2$

y el valor de B será:

$$B = \frac{1'241,204}{167.356 \times 10^2} = 74$$

Para un quinto periodo solo se cuenta con la producción mas no con la presión, por lo tanto este valor entrará en el de predicciones. Los valores obtenidos de B en los cuatro períodos son:

$$B = 48.5$$

$$B = 34$$

$$B = 65$$

$$B = 74$$

$$\text{Valor guía } B = 92$$

fácil es observar que los valores obtenidos difieren sustancialmente del valor guía, aún teniendo en cuenta que los pri-

meros valores son muy erráticos dado lo pequeño de los volúmenes quitados al reservorio, aún con esta precisa veros que los dos últimos valores también muestran fuerte diferencia con el valor guía.

Todo lo anterior indicaba que era necesaria una corrección en las características de ciertas propiedades del reservorio Fiorella, principalmente en la permeabilidad, por esta razón considerando:

K variable --- orden de 25 md.

h constante --- 28 pies

el suscrito preparó siguiendo el procedimiento anterior, una serie de cuadros similares, obteniendo los diversos valores de B de acuerdo a las variaciones de la permeabilidad hasta llegar al valor buscado. Una reseña de tales trabajos se muestra en el cuadro que a continuacion se expone. Para el valor deseado de K = 925 md. se muestra el procedimiento completo y similar al anterior

Obtención de B y t_D con valores corregidos de K

Supongamos que K = 925 md.; el valor anual de t_D sería:

$$t_D = \frac{6.323 \times 925 \times 365}{0.4 \times 0.2 \times 2.721 \times 10^{-6} \times 2321^2}$$

$$\underline{t_D = 1802}$$

De acuerdo a este valor hallamos los de B según procedimiento anterior.

Primer periodo (Año 1960)

$$W_{e(mb)} = 102,499 \quad (a) \text{ hallado anteriormente}$$

Según el valor de $t_D = 1802$ se forma el siguiente cuadro:

Periodo	<u>t</u>	<u>t_D</u>	<u>$Q(t) \times 10^2$</u>	<u>p</u>	<u>Δp</u>	<u>$Q(t) \times 10^2 \times \Delta p$</u>
Ago/60 1	365	1802	4.919	966	3.5	17.217
						$\sum 17.217 \text{ (b)}$

según (a) y (b) el valor de B será:

$$B = \frac{102,499}{17.217 \times 10^2} = 60$$

Segundo periodo (Año 1961)

$$W_{e(mb)} = 224,166 \text{ Bbls.} \quad (a)$$

Periodo	<u>t</u>	<u>t_D</u>	<u>$Q(t) \times 10^2$</u>	<u>p</u>	<u>Δp</u>	<u>$Q(t) \times 10^2 \times \Delta p$</u>
Ago/60 1	730	3604	8.899	966	3.5	31.146
Ago/61 2	365	1802	4.919	964	4.5	22.136
						$\sum 53.282 \times 10^2$

el valor de B es:

$$B = \frac{224,166}{53.282 \times 10^2} = 42$$

Tercer periodo (Año 1962)

$$W_{e(mb)} = 748,687 \text{ Bbls.} \quad (a)$$

Hoja de Cálculos.- XVIII

<u>Periodo</u>	<u>t</u>	<u>t_D</u>	<u>Q(t) x 10²</u>	<u>p</u>	<u>Δ p</u>	<u>Q(t) x 10² x Δ p</u>
Ago/60 1	1095	5406	12.720	966	3.5	44.520
Ago/61 2	730	3604	8.899	964	4.5	40.045
Ago/62 3	365	1802	4.919	963	1.5	7.378
						$\sum 91.943 \times 10^2$

el valor de B en este tercer periodo será:

$$B = \frac{748.687}{91.943 \times 10^2} = 81.5$$

Cuarto periodo (Año 1963)

$$W_{e(mb)} = 1'241,204 \text{ Bbls.} \quad (\text{a})$$

<u>Periodo</u>	<u>t</u>	<u>t_D</u>	<u>Q(t) x 10²</u>	<u>p</u>	<u>Δ p</u>	<u>Q(t) x 10² x Δ p</u>
Ago/60 1	1460	7208	16.408	966	3.5	57.428
Ago/61 2	1095	5406	12.720	964	4.5	57.240
Ago/62 3	730	3604	8.899	963	1.5	13.348
Ago/63 4	365	1802	4.919	962	1.0	4.919
						$\sum 132.835 \times 10^2$

el valor de B es:

$$B = \frac{1'241,204}{132.835 \times 10^2} = 93.5$$

Por lo tanto los valores de B en los cuatro periodos son:

$$B = 60$$

$$B = 42$$

$$B = 81.5$$

$$B = 93.5$$

Valor guía B = 92

Si observamos la tabla de estadísticas de producción veremos que para el año 1964 figura solo la producción, mas no así la presión del campo, la misma que no fué tomada. Si es bien, podríamos tantear las presiones posibles y ver que valores de B se obtienen.

Siguiendo el orden de la tabla anterior, al cuarto período, se formaría la siguiente:

<u>Periodo</u>	<u>t</u>	<u>t_D</u>	<u>$Q(t) \times 10^2$</u>	<u>p</u>	<u>Δp</u>	<u>$Q(t) \times 10^2 \times \Delta p$</u>
1	1825	9010	20.010	966	3.5	70.035
2	1460	7208	16.408	964	4.5	73.836
3	1095	5406	12.720	963	1.5	19.080
4	730	3604	8.899	962	1.0	8.899
Ago/64	365	1802	4.919	<u>962</u>	0.5	<u>2.459</u>
						$\sum 174.309 \times 10^2$
				<u>961</u>	1.0	$\sum 176.769 \times 10^2$
				960	1.5	$\sum 179.228 \times 10^2$
				<u>959</u>	2.0	$\sum 181.688 \times 10^2$

De acuerdo a las presiones usadas para Ago/64 los valores de B serán:

$$p = 962 \quad B = \frac{1'690,235}{174.309 \times 10^2} = 97$$

$$p = 961 \quad B = \frac{1'690,235}{176.769 \times 10^2} = 95.7$$

$$p = 960 \quad B = \frac{1'690,235}{179.228 \times 10^2} = 94.6$$

$$p = 95 \quad B = \frac{1'690,235}{181.688 \times 10^6} = 94$$

ya que $t_{e(mb)} = 1'592,268 (1.05) + 20,000 - 1000$

$$t_{e(mb)} = 1'690,235 \text{ bbls.}$$

Observando los valores de B obtenidos en los cuatro periodos anteriores, así como en el quinto periodo de tanteo, se nota que ellos convergen hacia el valor $B = 95$ que es precisamente el que brinda mejores aproximaciones en los cálculos de programas de predicción; por tanto el valor de la permeabilidad $K = 925 \text{ md.}$ es el buscado y queda justificado el uso que anteriormente se hizo de él; de igual forma los valores de B y t_D , constantes del reservorio Fiorella, fijados por el valor anterior de la permeabilidad y que se usarán para los programas de producción serán:

$$t_D = 1802 \quad \text{CONSTANTES DEL}$$

RESERVORIO FIORELLA

$$B = 95$$

CUADRO N° 4

Corrección por Permeabilidad para hallar el valor de B

K md	t _D Anual	Valores de B			
		1 Ago/60	2 Ago/61	3 Ago/62	4 Ago/63
1200	2339	48.5	34	65	74
1175	2290	49	34	66	75.5
1150	2242	50	35	67	77
1125	2193	51	35.5	69	78
1100	2144	52	36	70	80
1075	2096	53	37	71	81.5
1050	2047	54	38	73	83.5
1025	1999	55	38.5	74	85.5
1000	1949	55	39	76	87
975	1900	57	40	78	89
950	1851	58	41	80	91.5
925	1802	60	42	81.5	93.5

agua, se realiza por el método de tanteos y gráfico, al utilizar en forma independiente las ecuaciones de incursión de agua: por el método de balance de materiales $\bar{W}_e(mb)$, y por el método del flujo discontinuo $\bar{W}_e(us)$; cuyos valores deben de coincidir para un mismo reservorio.- El siguiente ejemplo ejemplificará la figura:

"Se trata de un reservorio I, de impulsión por agua, cuyas condiciones para la incursión de agua son:

$$\bar{W}_e(mb) = \frac{B_o}{B} B_o / \bar{W}_p - H (B_o - B_{oi})$$

$$\bar{W}_e(us) = B \sum \Delta p \times Q(t) \quad \text{siendo } B = 300$$

se desea conocer la presión e incursión de agua al cabo de 6 meses.-

De acuerdo a las características del reservorio, se asumen las presiones y se resuelven ambas ecuaciones cuyos resultados deben coincidir; si no sucede esto, se asume una nueva presión y si tan poco coinciden se asume una tercera; con estos tres valores para cada ecuación se plotean las curvas (P vs. \bar{W}_e) y la intersección marca el pto. común de P y \bar{W}_e . Para la solución de la segunda ecuación se forman cuadros similares a los que se desarrollaron anteriormente en las hojas de cálculo.

Los resultados de las 3 simulaciones (presiones) se muestran a continuación (el FVF solo figura como referencia).

Presión Asumida	L.L.P.	$\bar{W}_e(mb)$	$\bar{W}_e(us)$
1,340 psi.	1.1087	1'798,000	1'714,000
1,300	1.1090	1'790,000	1'734,000
1,200	1.1090	1'761,000	1'772,000

En el gráfico No.6 se muestra el ploteo de estos valores. Se ve allí que los valores comunes de W_e y P son: 1'767,000 Bbla. y 1,219 psi. aproximadamente. Estos valores son los que se esperaría (predicen) dentro de 6 meses".

Caso del Reservorio Morella.- Para el caso de nuestro reservorio de estudio, no es necesario efectuar el método gráfico anterior.- En efecto, anteriormente hemos resaltado la naturaleza tan pequeña y casi negligible de la caída de presión que sufre el reservorio Morella (caídas del orden de 1-2 psi/año); esto origina a su vez que los valores del P.V.P. permanezcan prácticamente estáticos y que las variaciones, en la ecuación de inmersión de agua por el método de balance de materiales $W_e(mb)$, sufren alteraciones del orden de 1,000-2,000 bbla.; prácticamente sin valor. Por todo ello la ecuación de inmersión de agua por el método del balance de materiales ($W_e(mb)$) se puede considerar, prácticamente sin error, como una recta perpendicular, y no como una curva, como en el caso anterior. Bajo tal consideración se deduce que la ecuación de inmersión de agua por el método del balance de materiales $W_e(mb)$, da el valor de tal inmersión en el reservorio Morella, y por lo tanto no se necesita el método gráfico, pues bastará aproximar a tal valor al asumir las variaciones de presión, la cual quedará fijada, con el valor que dé la mayor aproximación. Por lo tanto:

$$W_e(mb) = \bar{H}_p(1.05) + H_p - 1000 \quad \begin{cases} \text{(con variaciones de P es} \\ \text{línus perpendicular Pija} \\ \text{el valor del } \underline{\bar{H}_p} \text{ (aprox.)} \end{cases}$$

$$W_e(mb) = B \sum \Delta P \times q_i \quad \text{Pija la presión} \quad B = 95$$

El siguiente ejemplo, aplicado al reservorio Piorella solarará, el concepto anterior.- "Se necesita conocer los valores de la incursión de agua y de la presión para el año 1964 (Agosto), del reservorio Piorella.

Solución

La incursión de agua según la consideración anterior, será:

$$V_e(mb) = V_p(1.05) \neq V_p - 1000$$

si nos fijamos en el cuadro de estadísticas de producción obtenemos:

$$V_e(mb) = 1'592,268 (1.05) \neq 20,000 - 1,000$$

$$\underline{V_e(mb)} = 1'690,235 \text{ Bola. para Agosto/1964}$$

Para hallar la presión empleamos la fórmula

$$V_e(as) = B \sum \Delta P Q_t \quad B = 95$$

si nos fijamos en las hojas de cálculo No.XIII y XIV, hallaremos que los valores del término $\sum \Delta P Q_t$, para las presiones asumidas, y sus correspondientes valores de incursión de agua son:

Presión asumida $P = 962 \text{ psi.}$

$$V_e(as) = 95 \times 174.309 \times 10^2 = 1'655,000 \text{ Bola. (aprox.)}$$

$$\underline{V_e(as)} \quad \underline{V_e(mb)}$$

si $P = 961 \text{ psi.}$

$$V_e(as) = 95 \times 176.769 \times 10^2 = 1'679,000 \text{ Bola. (aprox.)}$$

$$\underline{V_e(as)} \quad \underline{V_e(mb)}$$

si $P = 960 \text{ psi.}$

$$V_e(as) = 95 \times 179.228 \times 10^2 = 1'701,000 \text{ Bola. (aprox.)}$$

$$V_e(as) \quad V_e(mb)$$

Observamos que hay 2 presiones, 961 y 960, que son las que rinden valores más próximos, por defecto y por exceso, de $\pi_e(\text{us})$ en relación al valor de $\pi_e(\text{mb})$. El valor $P = 960 \text{ psi}$. se escogió, por que rindió valores reales en el desarrollo de los programas de producción.

En el gráfico No.6 también se muestra el ploteo de los valores obtenidos en el caso del reservorio Piorella. El valor del $P = 1'690,235 \text{ bbls.}$ $\pi_e(\text{us})$, es interrumpido por el valor de $\pi_e(\text{us})$ en el punto que $P = 960.5$ valor este sin sentido práctico; por lo que para el caso se escogió $P = 960 \text{ psi}$. como el de mayor factibilidad.

C.- Programas de Producción.-

1.- Datos Generales

Si por los pocos conocimientos en cuanto a la zona sciffera, tanto si por la extensión de la misma, consideremos que el reservorio Piorella es de naturaleza infinita es decir:

Reservorio Piorella radial, e infinito
los datos generales del mismo, teniendo en cuenta todos los otros anteriores hallados unos y asumidos otros serán:

Reservorio Piorella.- Inyección por Agua (ID).

Tipo de Entrada	Anticinal - ovalado
Área total productiva (A)	391 Acres
Petróleo Original in Situ. (H)	13'621,807 STC Bbls.
Temperatura original del reservorio (T)	193 °P
Presión original del reservorio (P_o)	973 psi.
Viscosidad del agua (μ_w)	0.4 C_p
Viscosidad del petróleo (μ_o)	2.2 C_p

Prediccion de Presion e Incusion de Agua
Ejemplo: Reservorio X (W.D)

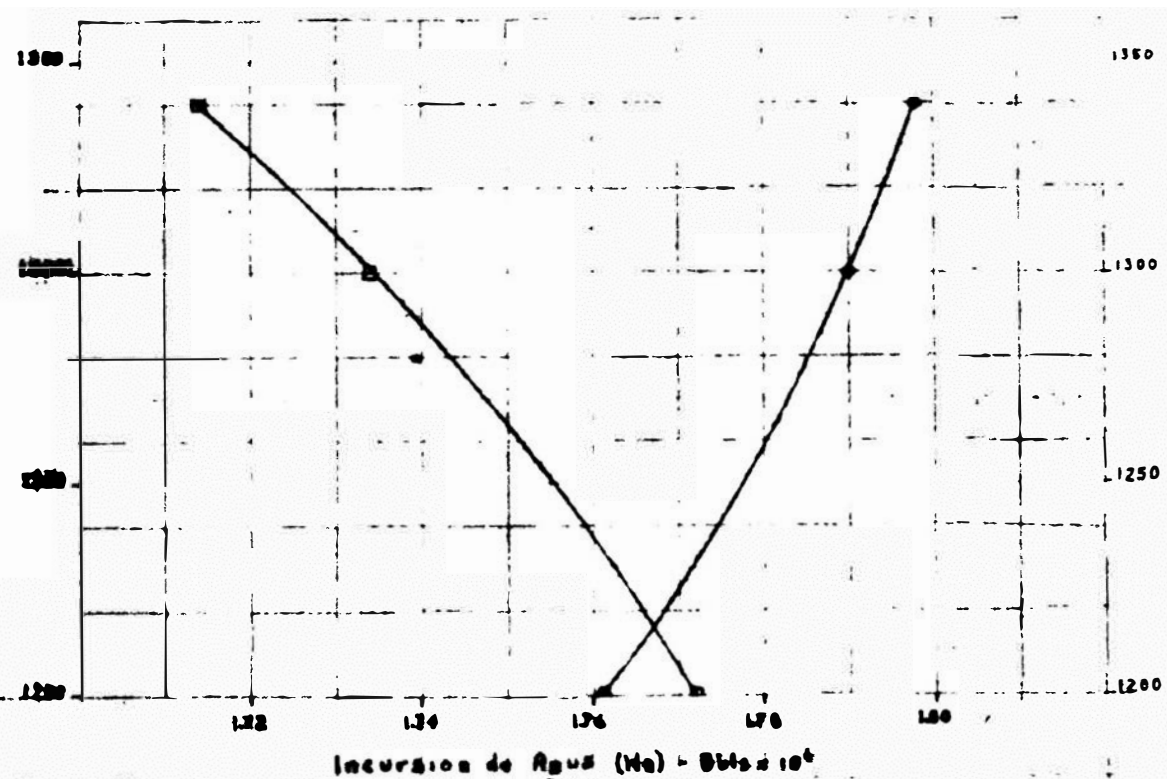
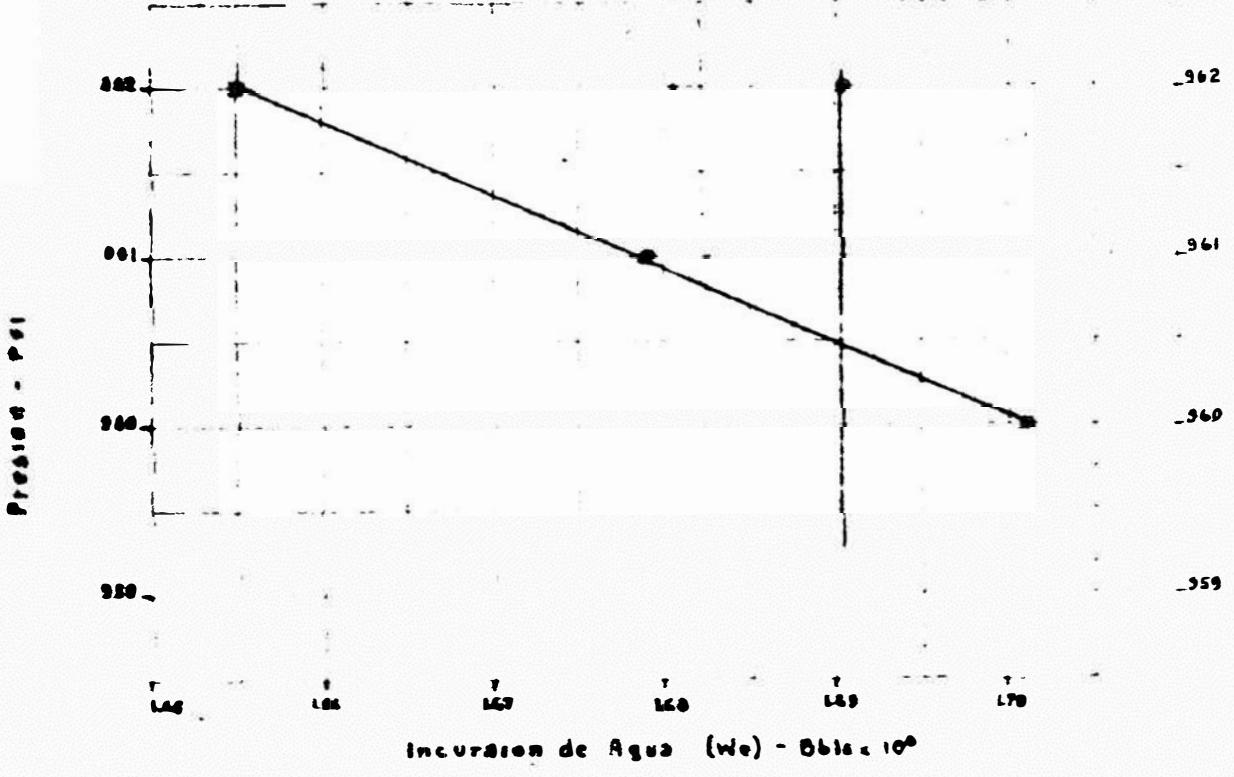


Fig. N° 6

Prediccion de Presion e Inclusion de Agua
Ejemplo: Reservorio Piorello (W.D)



Porosidad promedio (ϕ)	20 %
Permeabilidad promedio (k)	925 md.
Radio promedio del campo (R)	2,321 ft.
Geometría y extensión del reservorio	Radial e infinito
Compresibilidad efectiva del agua (c_w)	2.721×10^{-6} vol/vol/psi
Compresibilidad efectiva del petróleo (c_o)	6.123×10^{-6} "
Gas en solución	0
Factor Volumen de Formación	1.05
Saturación de agua crujante (S_{wc})	20%
Saturación residual de petróleo (S_{or})	33%

2.- Consideraciones Teóricas.-

En vista de los pocos datos relativos al reservorio, los programas de producción serán de un grado sumamente teórico.

Dado al poco numero que existe para el crudo de la selva, vamos a desarrollar los programas a base de 7 pozos, de producción, y con regímenes de producción diario por pozo que enmarcan dentro de esa realidad.

Vamos a asumir, la regularidad de los índices de productividad en todos los pozos (sin tener en cuenta su ubicación estructural). De la misma manera y en vista de que nuestro reservorio presenta una muy activa inyección de agua, los PI permanecen prácticamente estáticos, como una característica fija del reservorio. Por esa razón consideraremos que la producción es estable a través de toda la vida del reservorio. De la misma manera las producciones de aguas (asumidas) se considerarán estáticas, es decir que para evitar el cierre de tal producción los pozos se recondicionarán de acuerdo a las necesidades. Un buen

control sobre la productividad del campo, nos permitirá acercarnos al máximo a las condiciones teóricas anteriores.

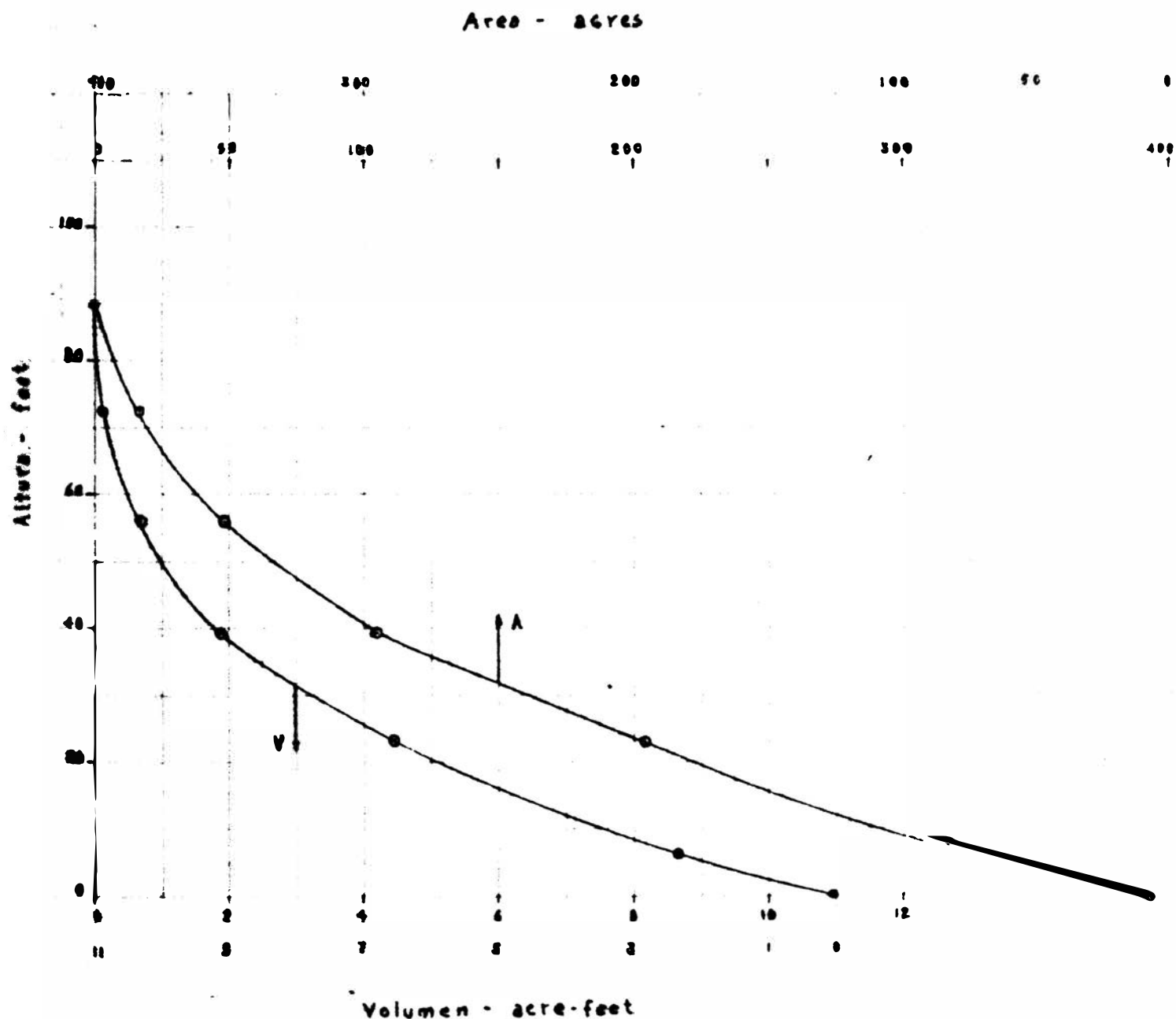
b.- Programas de Producción.-

De acuerdo a los índices de productividad (suposando altos y en el orden de PI = 15 Bol./día/paí) así como a las limitaciones del mercado, he escogido tres regímenes de producción diarios por pozo, los cuales son:

- 1° 170 Bol./día/pozo
- 2° 190 Bol./día/pozo
- 3° 210 Bol./día/pozo

trabajando con ellos y utilizando el método anterior de predicción de presión e incursión de agua (ecuaciones a base del balance de materiales y del flujo de estado discontinuo), manejando con el gráfico de Volumen y Área reservorio, vs. altura, he preparado los cuadros y gráficos correspondientes a los tres programas de producción, y que a continuación se presentan. Las predicciones empiezan a partir del año 1964, pues ese año no se tomó registros de presión, los valores de producción de agua se han asumido.

Volumen estructural y Área de las Secciones Transversales vs. Altura
Reservorio Fiorella (W D)



Producciones acumuladas de Petróleo y Agua

Base 170 Bbl/dia, pozos

Año	Petróleo bbl x 10 ³	Agua Bbl x 10 ³
1964	1592	20
1965	2026	37
1966	2460	54
1967	2894	71
1968	3328	82
1969	3762	105
1970	4196	122
1971	4630	139
1972	5064	156
1973	5498	173
1974	5932	190
1975	6366	207
1976	6800	224
1977	7234	241
1978	7668	258

Nota.- Producción Anual: Petróleo 434,000 Bbls.
Agua 17,000 Bbls.

Reservorio Fiorella (WD)
Predicción de Performance - Presiones
Base 170 bbl/día/pozo

Periodo	t	t_D	$Q(t) \times 10^2$	p	Δp	$Q(t) \times \Delta p \times 10^3$
Ago/65	1	2190	10,812	23.503	966	3.5
	2			20.010	964	4.5
	3			16.408	963	1.5
	4			12.720	962	1.0
	5			8.899	960	1.5
	6			4.919	959	1.5
					960	1.0
						$\Sigma 230.364$
						$\Sigma 227.905$
Ago/66	1	2555	12,614	26.926	966	3.5
	2			23.503	964	4.5
	3			20.010	963	1.5
	4			16.408	962	1.0
	5			12.720	960	1.5
	6			8.899	960	1.0
	7			4.919	959	0.5
					958	1.0
						$\Sigma 276.886$
						$\Sigma 279.346$
Ago/67	1	2920	14,416	30.350	966	3.5
	2			26.926	964	4.5
	3			23.503	963	1.5
	4			20.010	962	1.0
	5			16.408	960	1.5
	6			12.720	960	1.0
	7			8.899	959	0.5
	8			4.919	959	0.5
						$\Sigma 326.896$
Ago/68	1	3285	16,218	33.733	966	3.5
	2			30.350	964	4.5
	3			26.926	963	1.5
	4			23.503	962	1.0
	5			20.010	960	1.5
	6			16.408	960	1.0
	7			12.720	959	0.5
	8			8.899	959	0.5
	9			4.919	958	0.5
					959	-
						$\Sigma 378.223$
						$\Sigma 375.764$

Predicción de Performance - Fases
Base 170 Bbl/dia/pozo (Continuación)

Periodo	t	t _D	Q(t) x 10 ²	p	Δ p	Q(t) x Δ p x 10 ⁴
Ago/69	1	3650	18,020	966	3.5	129.832
	2		33.733	964	4.5	151.798
	3		30.350	963	1.5	45.525
	4		26.926	962	1.0	26.926
	5		23.503	960	1.5	35.254
	6		20.010	960	1.0	20.010
	7		16.408	959	0.5	8.204
	8		12.720	959	0.5	6.360
	9		8.899	959	-	-
	10		4.919	959	-	-
				958	0.5	Σ 423.909
						Σ 426.368
Ago/70	1	4015	19,822	966	3.5	141.603
	2		37.095	964	4.5	166.927
	3		33.733	963	1.5	50.599
	4		30.350	962	1.0	30.350
	5		26.926	960	1.5	40.389
	6		23.503	960	1.0	23.503
	7		20.010	959	0.5	10.005
	8		16.408	959	0.5	8.204
	9		12.720	959	-	-
	10		8.899	958	0.5	4.449
	11		4.919	958	0.5	2.459
				959	-	Σ 478.488
						Σ 476.029
Ago/71	1	4380	21.626	966	3.5	153.167
	2		40.458	964	4.5	182.061
	3		37.095	963	1.5	55.642
	4		33.733	962	1.0	33.733
	5		30.350	960	1.5	45.525
	6		26.926	960	1.0	26.926
	7		23.503	959	0.5	11.751
	8		20.010	959	0.5	10.005
	9		16.408	959	-	-
	10		12.720	958	0.5	6.360
	11		8.899	959	-	-
	12		4.919	957	0.5	2.459
				958	-	Σ 527.629
						Σ 525.170

Predicción de Performance - Presiones

Base 170 Bbl/dia/pozo (Continuación)

Periodo	t	t_D	$Q(t) \times 10^2$	p	Δp	$- (t) \times \Delta p \times 10^2$
Ago/72	1	4745	23,436	966	3.5	164.706
	2		43.762	964	4.5	196.929
	3		40.458	963	1.5	60.687
	4		37.095	962	1.0	37.095
	5		33.733	960	1.5	50.599
	6		30.350	960	1.0	30.350
	7		26.926	959	0.5	13.463
	8		23.503	959	0.5	11.251
	9		20.010	959	-	-
	10		16.408	958	0.5	8.204
	11		12.720	959	-	-
	12		8.899	958	-	-
	13		4.919	958	0.5	2.459
						$\Sigma 575.743$
Ago/73	1	5110	25,228	966	3.5	176.221
	2		47.059	964	4.5	211.765
	3		43.762	963	1.5	65.643
	4		40.458	962	1.0	40.458
	5		37.095	960	1.5	55.642
	6		33.733	960	1.0	33.733
	7		30.350	959	0.5	15.175
	8		26.926	959	0.5	13.463
	9		23.503	959	-	-
	10		20.010	958	0.5	10.005
	11		16.408	959	-	-
	12		12.720	958	-	-
	13		8.899	958	0.5	4.449
	14		4.919	958	-	-
						$\Sigma 626.554$
Ago/74	1	5475	27,030	966	3.5	187.537
	2		50.349	964	4.5	226.570
	3		47.059	963	1.5	70.588
	4		43.762	962	1.0	43.762
	5		40.458	960	1.5	60.687
	6		37.095	960	1.0	37.095
	7		33.733	959	0.5	16.867
	8		30.350	959	0.5	15.175
	9		26.926	959	-	-
	10		23.503	958	0.5	11.752
	11		20.010	959	-	-

Predicción de Performance - Fases

Base 170 Bbl/dia/pozo (Continuación)

Periodo	t	t_D	$Q(t) \times 10^2$	P	ΔP	$Q(t) \times \Delta P \times 10^2$
Ago/74	12	5475	27,030	16.408	958	-
	13		12.720	958	0.5	6.360
	14		8.899	958	-	-
	15		4.919	958	-	-
						$\Sigma 676.393$
Ago/75	1	5840	28,832	56.814	966	3.5
	2		53.582	964	4.5	241.119
	3		50.349	963	1.5	75.523
	4		47.059	962	1.0	47.059
	5		43.762	960	1.5	65.643
	6		40.458	960	1.0	40.458
	7		37.095	959	0.5	18.547
	8		33.733	959	0.5	16.867
	9		30.350	959	-	-
	10		26.926	958	0.5	13.463
	11		23.503	959	-	-
	12		20.010	958	-	-
	13		16.408	958	0.5	8.204
	14		12.720	958	-	-
	15		8.899	958	-	-
	16		4.919	958	-	-
						$\Sigma 725.732$
Ago/76	1	6205	30,364	60.015	966	3.5
	2		56.814	964	4.5	255.663
	3		53.582	963	1.5	80.373
	4		50.349	962	1.0	50.349
	5		47.059	960	1.5	70.588
	6		43.762	960	1.0	43.762
	7		40.458	959	0.5	20.224
	8		37.095	959	0.5	18.547
	9		33.733	959	-	-
	10		30.350	958	0.5	15.175
	11		26.926	959	-	-
	12		23.503	958	-	-
	13		20.010	958	0.5	10.005
	14		16.408	958	-	-
	15		12.720	958	-	-
	16		8.899	958	-	-
	17		4.919	958	-	-
						$\Sigma 774.743$

Predicción de Performance - Series
Base 170 Bbl/dia/pozo (Continuación)

Periodo	t	t_D	$Q(t) \times 10^2$	p	ap	$Q(t) \times ap \times 10^2$	
Ago/77	1	6570	32,436	63.156	966	3.5	221.046
	2			60.015	964	4.5	270.067
	3			56.814	963	1.5	85.221
	4			53.582	962	1.0	53.582
	5			50.349	960	1.5	75.523
	6			47.059	960	1.0	47.059
	7			43.762	959	0.5	21.881
	8			40.458	959	0.5	20.229
	9			37.095	959	-	-
	10			33.733	958	0.5	16.867
	11			30.350	959	-	-
	12			26.926	958	-	-
	13			23.503	958	0.5	11.751
	14			20.010	958	-	-
	15			16.408	958	-	-
	16			12.720	958	-	-
	17			8.899	958	-	-
	18			4.919	958	-	-
					957	0.5	$\sum 823.226$
							$\sum 825.685$
Ago/78	1	6935	34,238	66.299	966	3.5	232.039
	2			63.156	964	4.5	284.202
	3			60.015	963	1.5	90.022
	4			56.814	962	1.0	56.814
	5			53.582	960	1.5	80.373
	6			50.349	960	1.0	50.349
	7			47.059	959	0.5	23.529
	8			43.762	959	0.5	21.881
	9			40.458	959	-	-
	10			37.095	958	0.5	18.548
	11			33.733	959	-	-
	12			30.350	958	-	-
	13			26.926	958	0.5	13.463
	14			23.503	958	-	-
	15			20.010	958	-	-
	16			16.408	958	-	-
	17			12.720	958	-	-
	18			8.899	957	0.5	4.449
	19			4.919	957	0.5	2.459
					958	-	$\sum 878.128$
							$\sum 875.669$

Reservorio Fiorella ("D)

Predicción de Performance - Incursión de Agua

$$\text{Ecuaciones: } \dot{W}_{e(mb)} = N_p(1.05) + t_p - 1000$$

$$\dot{W}_{e(us)} = B \sum \Delta p \times Q(t)$$

Base 170 Bbl/dia/pozo

Periodo	$\dot{W}_{e(mb)} \times 10^2$	Presión Asumida	$\dot{W}_{e(us)} \times 10^2$	Presión Elegida
	Bbls.	psi	Bbls.	psi
Ago/65	2163	959 960	2188 2165	960
Ago/66	2637	959 958	2630 2653	959
Ago/67	3108	959	3105	959
Ago/68	3581	958 959	3593 3570	959
Ago/69	4054	959 958	4027 4054	958
Ago/70	4526	958 959	4545 4522	959
Ago/71	5000	957 958	5012 4990	958
Ago/72	5472	958	5469	958
Ago/73	5945	958	5952	958
Ago/74	6417	958	6425	958
Ago/75	6890	958	6894	958
Ago/76	7363	958	7360	958
Ago/77	7835	958 957	7820 7844	957
Ago/78	8309	957 958	8342 8318	958

(an) *vitamin* or *vitamins*

Andriod é o top 1º programa do mundo em download

$$n = 13.62 \times 10^6 \text{ ppb}.$$

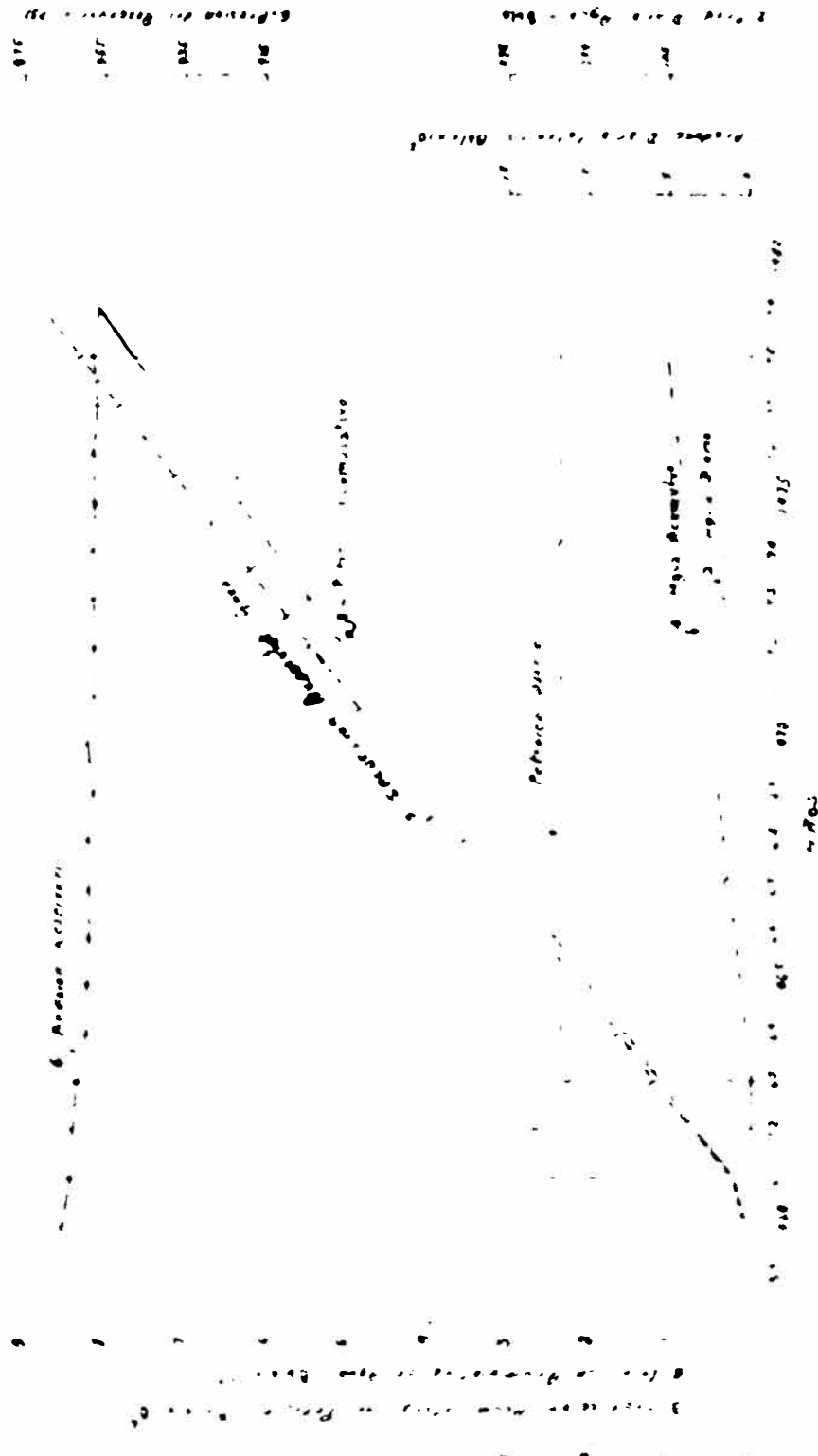
- 975 -

$$q_a = 170 \text{ mol/da/pore}$$

四
一
九五

Productivity Performance

Productivity
Performance
Assessment



Producción Anual de Petróleo y Agua

Base 190 Bbl/dia/pozo

Año	Petróleo	Agua
	Bbl x 10 ³	Bbl x 10 ³
1964	1592	20
1965	2070	39
1966	2555	58
1967	3040	77
1968	3525	96
1969	4010	115
1970	4495	134
1971	4980	153
1972	5465	172
1973	5950	191
1974	6435	210
1975	6920	229
1976	7405	248
1977	7890	267

Nota.- Producción Anual: Petróleo 485,000 Bbls.
Agua 19,000 Bbls.

Reservorio Fiorella (-B)
 Predicción de Performance - Incursión de una
 Ecuaciones: $\pi_e(mb) = K_p(1.05) + \pi_p - 1000$

$$\pi_e(mb) = B \sum \Delta p \times Q(t)$$

Base 190 Bbl/dia/pozo

Periodo	$\pi_e(mb) \times 10^2$	Presión Asumida	$\pi_e(mb) \times 10^2$	Presión Asumida
	Bbls.	psia	Bbls.	psia
Ago/65	2211	958	2211	958
Ago/66	2739	958	2738	958
Ago/67	3267	957	3268	957
Ago/68	3795	957	3801	957
Ago/69	4327	957	4337	957
Ago/70	4853	957	4858	957
Ago/71	5381	957	5374	957
Ago/72	5909	957 956	5884 5907	956
Ago/73	6438	956 957	6457 6434	957
Ago/74	6965	956	6954	956
Ago/75	7495	956	7494	956
Ago/76	8022	956	8026	956
Ago/77	8550	956	8551	956

Reservorio Fiorella (...)
Predicción de Performance - Presiones
Base 190 Bbl/dia/pozo

Periodo	t	t _D	Q(t) x 10 ²	p	Δ p	Q(t) x Δ p x 10 ⁴
Ago/65	1	2190	10,812	23.503	966	3.5
	2			20.010	964	4.5
	3			16.408	963	1.5
	4			12.720	962	1.0
	5			8.899	960	1.5
	6			4.919	958	2.0
						$\Sigma 232.823$
Ago/66	1	2555	12,614	26.926	966	3.5
	2			23.503	964	4.5
	3			20.010	963	1.5
	4			16.408	962	1.0
	5			12.720	960	1.5
	6			8.899	958	2.0
	7			4.919	958	1.0
						$\Sigma 288.245$
Ago/67	1	2920	14,416	30.350	966	3.5
	2			26.926	964	4.5
	3			23.503	963	1.5
	4			20.010	962	1.0
	5			16.408	960	1.5
	6			12.720	958	2.0
	7			8.899	958	1.0
	8			4.919	957	0.5
						$\Sigma 344.066$
Ago/68	1	3285	16.218	33.733	966	3.5
	2			30.350	964	4.5
	3			26.926	963	1.5
	4			23.503	962	1.0
	5			20.010	960	1.5
	6			16.408	958	2.0
	7			12.720	958	1.0
	8			8.899	957	0.5
	9			4.919	957	0.5
						$\Sigma 400.011$

Predicción de Performance - Presiones

Base 190 Bbl/dia/pozo (Continuación)

Periodo	t	t_D	$Q(t) \times 10^2$	p	Δp	$Q(t) \times \Delta p \times 10^2$
Ago/69	1	3650	18,020	966	3.5	129.832
	2		33.733	964	4.5	151.798
	3		30.350	963	1.5	45.525
	4		26.926	962	1.0	26.926
	5		23.503	960	1.5	35.254
	6		20.010	958	2.0	40.020
	7		16.408	958	1.0	16.408
	8		12.720	957	0.5	6.360
	9		8.899	957	0.5	4.449
	10		4.919	957	-	-
						$\sum 456.572$
Ago/70	1	4015	19,822	966	3.5	141.603
	2		37.095	964	4.5	166.927
	3		33.733	963	1.5	50.599
	4		30.350	962	1.0	30.350
	5		26.926	960	1.5	40.389
	6		23.503	958	2.0	47.006
	7		20.010	958	1.0	20.010
	8		16.408	957	0.5	8.204
	9		12.720	957	0.5	6.360
	10		8.899	957	-	-
	11		4.919	957	-	-
						$\sum 511.488$
Ago/71	1	4380	21,626	966	3.5	153.167
	2		40.458	964	4.5	182.061
	3		37.095	963	1.5	55.642
	4		33.733	962	1.0	33.733
	5		30.350	960	1.5	45.525
	6		26.926	958	2.0	53.852
	7		23.503	958	1.0	23.503
	8		20.010	957	0.5	10.005
	9		16.408	957	0.5	8.204
	10		12.720	957	-	-
	11		8.899	957	-	-
	12		4.919	957	-	-
						$\sum 565.722$

Predicción de Performance - Presiones
Base 190 bbl/dia/pozo (Continuación)

Periodo	t	t_D	$Q(t) \times 10^2$	P	AP	$\bar{Q}(t) \times AP \times 10^4$
Ago/72	1	4745	23,426	966	3.5	164.766
	2		43.762	964	4.5	196.929
	3		40.458	963	1.5	60.687
	4		37.095	962	1.0	37.195
	5		33.733	960	1.5	50.599
	6		30.350	958	2.0	60.700
	7		26.926	958	1.0	26.926
	8		23.503	957	0.5	11.751
	9		20.010	957	0.5	10.005
	10		16.408	957	-	-
	11		12.720	957	-	-
	12		8.899	957	-	-
	13		4.919	957	-	-
				956	0.5	$\sum 619.398$
						$\sum 621.857$
Ago/73	1	5110	25,228	966	3.5	170.221
	2		47.059	964	4.5	211.765
	3		43.762	963	1.5	65.643
	4		40.458	962	1.0	40.458
	5		37.095	960	1.5	55.642
	6		33.733	958	2.0	67.466
	7		30.350	958	1.0	30.350
	8		26.926	957	0.5	13.463
	9		23.503	957	0.5	11.751
	10		20.010	957	-	-
	11		16.408	957	-	-
	12		12.720	957	-	-
	13		8.899	956	0.5	4.499
	14		4.919	956	0.5	2.459
				957	-	$\sum 679.667$
						$\sum 677.208$
Ago/74	1	5475	27,030	966	3.5	187.537
	2		50.349	964	4.5	226.570
	3		47.059	963	1.5	70.588
	4		43.762	962	1.0	43.762
	5		40.458	960	1.5	60.687
	6		37.095	958	2.0	74.190
	7		33.733	958	1.0	33.733
	8		30.350	957	0.5	15.175
	9		26.926	957	0.5	13.463

Predicción de Performance - Presiones
Base 190 Bbl/dia/pozo (Continuación)

Periodo	t	t_D	$Q(t) \times 10^2$	p	AF	$Q(t) \times 10^2 p \times 10^2$
Ago/74	10	5475	27,030	957	-	-
	11		20.010	957	-	-
	12		16.408	957	-	-
	13		12.720	956	0.5	6.360
	14		8.899	957	-	-
	15		4.919	956	-	-
						$\Sigma 732.065$
Ago/75	1	5840	28,832	966	3.5	198.849
	2		53.582	964	4.5	241.119
	3		50.349	963	1.5	75.523
	4		47.059	962	1.0	47.059
	5		43.762	960	1.5	65.643
	6		40.458	958	2.0	80.916
	7		37.095	958	1.0	37.095
	8		33.733	957	0.5	16.867
	9		30.350	957	0.5	15.175
	10		26.926	957	-	-
	11		23.503	957	-	-
	12		20.010	957	-	-
	13		16.408	956	0.5	8.204
	14		12.720	957	-	-
	15		8.899	956	-	-
	16		4.919	956	0.5	2.459
						$\Sigma 788.569$
Ago/76	1	6205	30,634	966	3.5	210.052
	2		56.814	964	4.5	255.663
	3		53.582	963	1.5	80.373
	4		50.349	962	1.0	50.349
	5		47.059	960	1.5	70.589
	6		43.762	958	2.0	87.524
	7		40.458	958	1.0	40.458
	8		37.095	957	0.5	18.547
	9		33.733	957	0.5	16.867
	10		30.350	957	-	-
	11		26.926	957	-	-
	12		23.503	957	-	-
	13		20.010	956	0.5	10.005
	14		16.408	957	-	-
	15		12.720	956	-	-
	16		8.899	956	0.5	4.449
	17		4.919	956	-	-
						$\Sigma 844.876$

Predicción de Performance - Aresiones

Base 190 Bbl/dia/pozo (Continuación)

Periodo	t	t_D	$Q(t) \times 10^2$	p	Δp	$Q(t) \times \Delta p \times 10^2$
Ago/77	1	6570	32,436	966	3.5	221.046
	2		60.015	964	4.5	270.067
	3		56.814	963	1.5	85.221
	4		53.582	962	1.0	53.582
	5		50.349	960	1.5	75.523
	6		47.059	958	2.0	94.118
	7		43.762	958	1.0	43.762
	8		40.458	957	0.5	20.229
	9		37.095	957	0.5	18.548
	10		33.733	957	-	-
	11		30.350	957	-	-
	12		26.926	957	-	-
	13		23.503	956	0.5	11.751
	14		20.010	957	-	-
	15		16.408	956	-	-
	16		12.720	956	0.5	6.360
	17		8.899	956	-	-
	18		4.919	956	-	-

$\sum 900.207$

BIBLIOGRAPHY (22)

Análisis del Programa de Producción

- 23.62 x 10⁶ bars.

卷之三

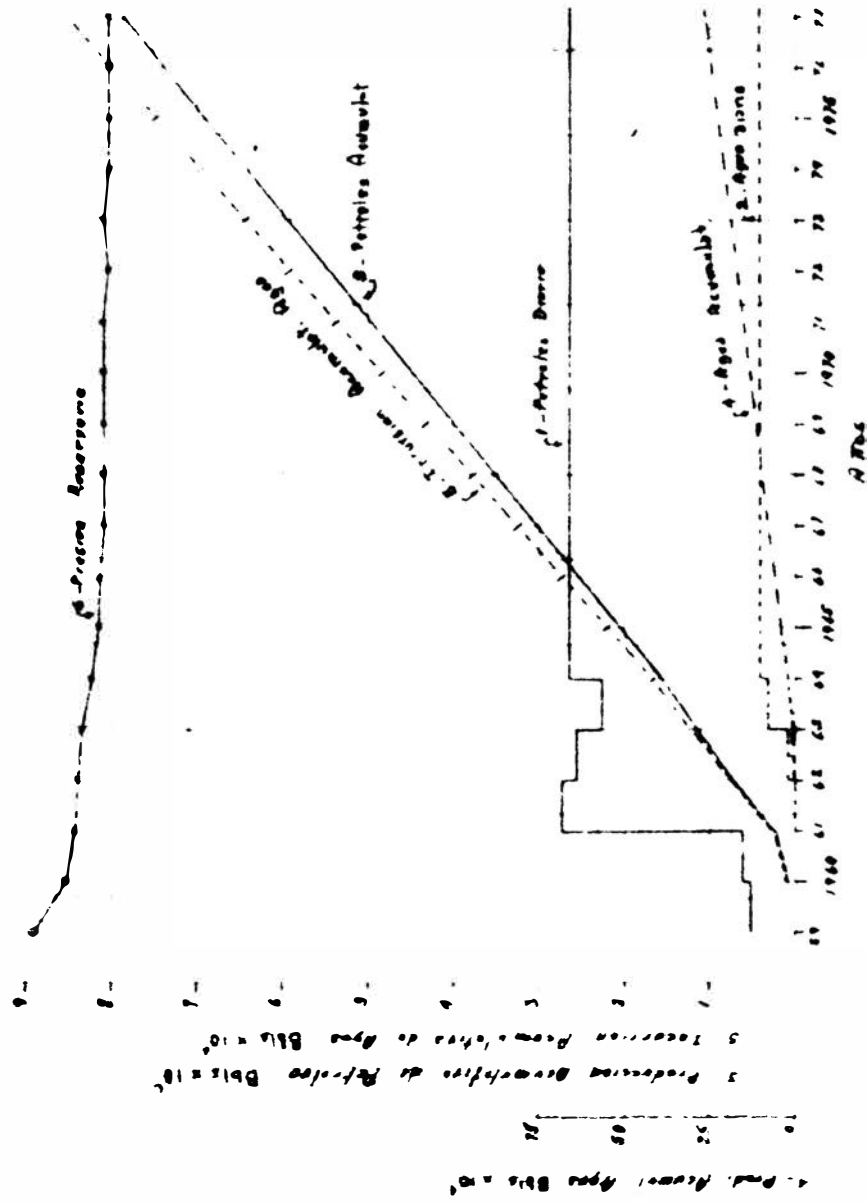
86 - 190 mol/da/g

四百一

Predicción de Performance

Reservoir Fiorella (W.D.)

Digitized by srujanika@gmail.com



Producción de Agua y Petróleo

Base 210 Bbl/día/pozo

Año	Petróleo	Agua
	Bbl x 10 ³	Bbl x 10 ³
1964	1592	20
1965	2128	42
1966	2664	64
1967	3200	86
1968	3736	108
1969	4272	130
1970	4808	152
1971	5344	174
1972	5880	196
1973	6416	218
1974	6952	240
1975	7488	262
1976	8024	284

Nota.- Producción Anual: Petróleo 536,000 Bbls.
Agua 22,000 Bbls.

Reservorio Fiorella (ND)
Predicción de Performance - Presiones
Base 210 Bbl/dia/pozo

Periodo	t	t_D	$Q(t) \times 10^2$	p	Δp	$C(t) \times \Delta p \times 10^2$	
Ago/65	1	2190	10,812	23.503	966	3.5	82.260
	2			20.010	964	4.5	90.045
	3			16.408	963	1.5	24.612
	4			12.720	962	1.0	12.720
	5			8.899	960	1.5	13.348
	6			4.919	956	3.0	14.757
				955	3.5		$\Sigma 237.742$
							$\Sigma 240.201$
Ago/66	1	2555	12,614	26.926	966	3.5	94.241
	2			23.503	964	4.5	105.764
	3			20.010	963	1.5	30.035
	4			16.408	962	1.0	16.408
	5			12.720	960	1.5	19.080
	6			8.899	955	3.5	31.146
	7			4.919	955	2.5	12.297
				958	1.0		$\Sigma 308.971$
							$\Sigma 301.593$
Ago/67	1	2920	14,416	30.350	966	3.5	106.225
	2			26.926	964	4.5	121.167
	3			23.503	963	1.5	35.254
	4			20.010	962	1.0	20.010
	5			16.408	960	1.5	24.612
	6			12.720	955	3.5	44.520
	7			8.899	958	1.0	8.899
	8			4.919	955	-	-
				954	0.5		$\Sigma 360.687$
							$\Sigma 363.146$
Ago/68	1	3285	16,218	33.733	966	3.5	118.065
	2			30.350	964	4.5	136.575
	3			26.926	963	1.5	46.389
	4			23.503	962	1.0	23.503
	5			20.010	960	1.5	30.035
	6			16.408	955	3.5	57.428
	7			12.720	958	1.0	12.720
	8			8.899	954	0.5	4.449
	9			4.919	954	2.0	9.838
				957	0.5		$\Sigma 433.002$
				958	-		$\Sigma 425.624$
							$\Sigma 423.164$

Predicción de Performance - Presiones
Base 210 Bbl/dia/pozo (Continuación)

Periodo	t	t_D	$Q(t) \times 10^2$	p	Δp	$Q(t) \times \Delta p \times 10^2$	
Ago/69	1	3650	18,020	37.095	966	3.5	129.832
	2			33.733	964	4.5	151.798
	3			30.350	963	1.5	45.525
	4			26.926	962	1.0	26.926
	5			23.503	960	1.5	35.254
	6			20.010	955	3.5	70.035
	7			16.408	958	1.0	16.408
	8			12.720	954	0.5	6.360
	9			8.899	958	-	-
	10			4.919	954	-	-
						$\Sigma 482.138$	
						952 1.0 $\Sigma 487.057$	
						953 0.5 $\Sigma 484.597$	
Ago/70	1	4015	19,822	40.458	966	3.5	141.603
	2			37.095	964	4.5	166.927
	3			33.733	963	1.5	50.599
	4			30.350	962	1.0	30.350
	5			26.926	960	1.5	40.389
	6			23.503	955	3.5	82.260
	7			20.010	958	1.0	20.010
	8			16.408	954	0.5	8.204
	9			12.720	958	-	-
	10			8.899	953	0.5	4.499
	11			4.919	958	-	-
						$\Sigma 544.791$	
						957 0.5 $\Sigma 547.250$	
Ago/71	1	4380	21,626	43.762	966	3.5	153.167
	2			40.458	964	4.5	182.061
	3			37.095	963	1.5	55.642
	4			33.733	962	1.0	33.733
	5			30.350	960	1.5	45.525
	6			26.926	955	3.5	94.241
	7			23.503	958	1.0	23.503
	8			20.010	954	0.5	10.005
	9			16.408	958	-	-
	10			12.720	953	0.5	6.370
	11			8.899	957	0.5	4.449
	12			4.919	953	-	-
						$\Sigma 608.686$	

Predicción de Performance - Presiones
Base 210 Bbl/dia/pozo (Continuación)

Periodo	t	t_D	$Q(t) \times 10^2$	p	Δp	$Q(t) \times \Delta p \times 10^2$	
Ago/72	1	4745	23,426	47.059	966	3.5	164.706
	2			43.762	964	4.5	196.929
	3			40.458	963	1.5	60.687
	4			37.095	962	1.0	37.095
	5			33.733	960	1.5	50.599
	6			30.350	955	3.5	106.225
	7			26.926	958	1.0	26.926
	8			23.503	954	0.5	11.571
	9			20.010	958	-	-
	10			16.408	953	0.5	8.204
	11			12.720	957	0.5	6.360
	12			8.899	953	-	-
	13			4.919	957	-	-
						$\Sigma 669.482$	
Ago/73	1	5110	25,228	50.349	966	3.5	176.221
	2			47.059	964	4.5	211.765
	3			43.762	963	1.5	65.643
	4			40.458	962	1.0	40.458
	5			37.095	960	1.5	55.642
	6			33.733	955	3.5	118.065
	7			30.350	958	1.0	30.350
	8			26.926	954	0.5	13.463
	9			23.503	958	-	-
	10			20.010	953	0.5	10.005
	11			16.408	957	0.5	8.204
	12			12.720	953	-	-
	13			8.899	957	-	-
	14			4.919	953	-	-
						$\Sigma 729.816$	
					952	0.5	$\Sigma 732.275$
Ago/74	1	5475	27,030	53.582	966	3.5	187.537
	2			50.349	964	4.5	226.570
	3			47.059	963	1.5	70.588
	4			43.762	962	1.0	43.762
	5			40.458	960	1.5	60.687
	6			37.095	955	3.5	129.832
	7			33.733	958	1.0	33.733
	8			30.350	954	0.5	15.175
	9			26.926	958	-	-
	10			23.503	953	0.5	11.751
	11			20.010	957	0.5	10.005
	12			16.408	953	-	-

Predicción de Performance - Fases
Base 210 Bbl/día/pozo (Continuación)

Periodo	t	t_D	$Q(t) \times 10^2$	p	Δp	$Q(t) \times \Delta p \times 10^2$
Ago/74	13	5475	27,030	12.720	957	-
	14			8.899	952	0.5
	15			4.919	957	-
						$\Sigma 794.089$
Ago/75	1	5840	28,832	56.814	966	3.5
	2			53.582	964	4.5
	3			50.349	963	1.5
	4			47.059	962	1.0
	5			43.762	960	1.5
	6			40.458	955	3.5
	7			37.095	958	1.0
	8			33.733	954	0.5
	9			30.350	958	-
	10			26.926	953	0.5
	11			23.503	957	0.5
	12			20.010	953	-
	13			16.408	957	-
	14			12.720	952	0.5
	15			8.899	957	-
	16			4.919	952	-
						$\Sigma 855.332$
Ago/76	1	6205	30,634	60.015	966	3.5
	2			56.814	964	4.5
	3			53.582	963	1.5
	4			50.349	962	1.0
	5			47.059	960	1.5
	6			43.762	955	3.5
	7			40.458	958	1.0
	8			37.095	954	0.5
	9			33.733	958	-
	10			30.350	953	0.5
	11			26.926	957	0.5
	12			23.503	953	-
	13			20.010	957	-
	14			16.408	952	0.5
	15			12.720	957	-
	16			8.899	952	-
	17			4.919	957	-
						$\Sigma 916.039$

Prediccion de Performance - Fases

Base 210 Bbl/dia/pozo (Continuacion)

Periodo	t	t_D	$Q(t) \times 10^2$	p	Δp	$Q(t) \times \Delta p \times 10^2$	
Ago/77	1	6570	32,436	63.156	966	3.5	221.046
	2			60.015	964	4.5	270.067
	3			56.814	963	1.5	85.221
	4			53.582	962	1.0	53.582
	5			50.349	960	1.5	75.523
	6			47.059	955	3.5	164.706
	7			43.762	958	1.0	43.762
	8			40.458	954	0.5	20.229
	9			37.095	958	-	-
	10			33.733	953	0.5	16.866
	11			30.350	957	0.5	15.175
	12			26.926	953	-	-
	13			23.503	957	-	-
	14			20.010	952	0.5	10.005
	15			16.408	957	-	-
	16			12.720	952	-	-
	17			8.899	957	-	-
	18			4.919	952	-	-
						Σ 976.182	
					951	0.5	Σ 978.641

Reservorio Ficarella (D)

Predicción de Performance - Incursión de agua

$$\text{Ecuaciones: } "e_{(mb)} = B_p(1.05) + "e_p - 1000$$

$$"e_{(us)} = B \sum \Delta p \times Q(t)$$

Base 210 Bbl/dia/pozc

Periodo	"e(mb) x 10 ² Bbls.	Presión Asumida psi	"e(us) x 10 ² Bbls.	Presión Medida psi
Ago/65	2275	956 955	2258 2279	955
Ago/66	2860	955 958	2934 2865	958
Ago/67	3446	955 954	3428 3449	954
Ago/68	4030	954 957 958	4113 4042 4020	958
Ago/69	4614	954 952 953	4581 4627 4604	953
Ago/70	5199	958 957	5175 5198	957
Ago/71	5784	953	5782	953
Ago/72	6369	957	6360	957
Ago/73	6953	953 952	6933 6956	952
Ago/74	7538	957	7543	957
Ago/75	8123	952	8125	952
Ago/76	8708	957	8702	957

BIBLIOGRAPHY OF MEXICO (cont.)

Análisis del Programa de Producción

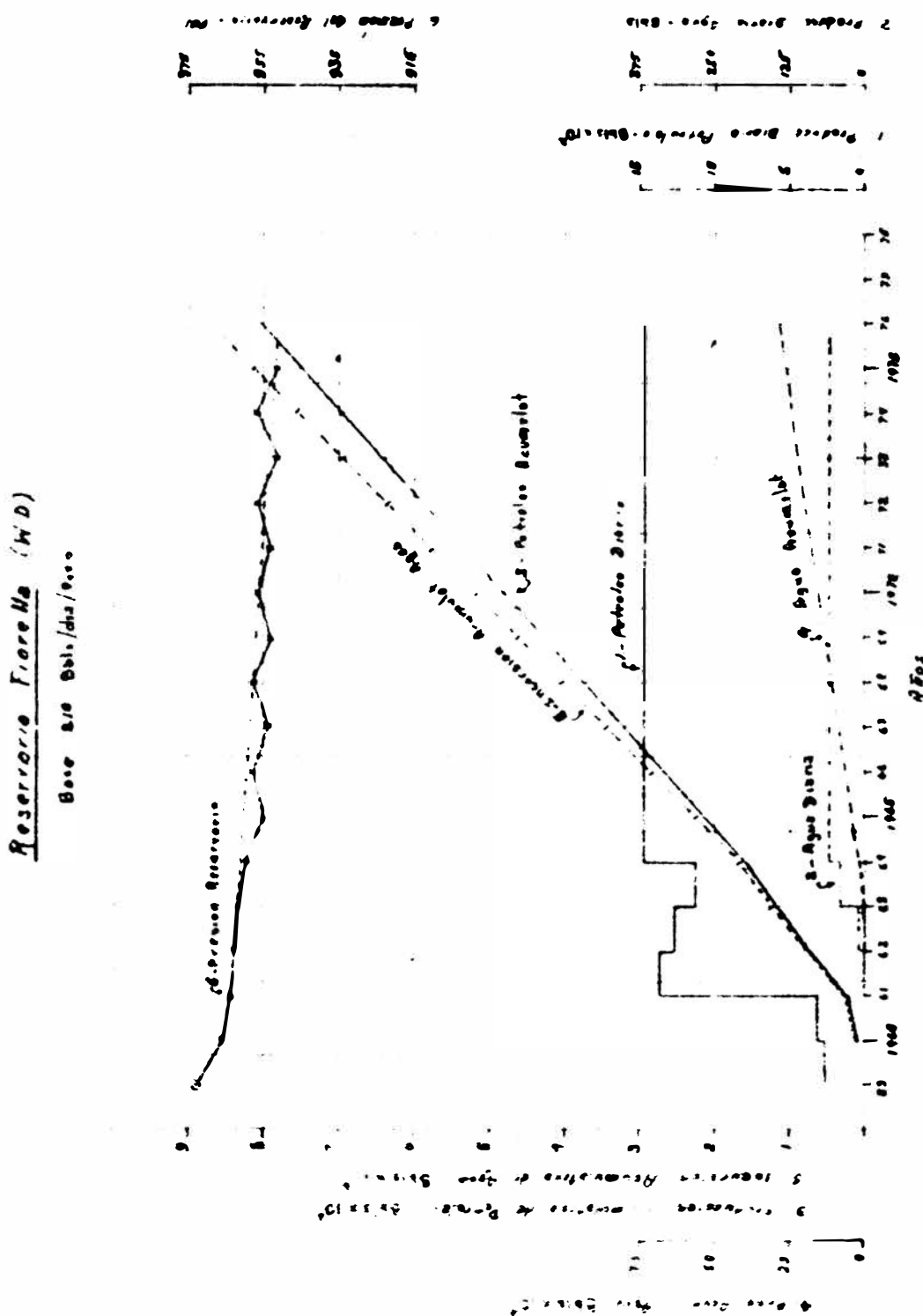
$$= 13,691 \pm 10^6$$

卷之三

- 210 -

卷之三

predicción de Performance



CONCLUSIONES

- a.- En los tres regímenes propuestos la presión declina continuamente, aunque en forma lenta. Esto es indicativo de una actividad muy pronunciada en la incursión de agua, y si nos fijamos en las tablas respectivas, veremos que existe, prácticamente, una equivalencia volumen por volumen, entre la producción de petróleo y la incursión de agua.
- b.- Se observa también ciertos altibajos en la presión (aunque la tendencia siempre es decreciente), sobre todo en el régimen de 210 bbl.; producto tanto de que la incursión de agua sobrepase ligeramente la producción de petróleo, cuenta de las limitaciones propuestas a las extracciones usadas.
- c.- Las incursiones de agua y las recuperaciones aproximadas son:

<u>Régim.</u>	<u>Incursión Agua</u>	<u>Prod. Petróleo</u>	<u>Recuperación</u>
Bbl/día/Pozo	Bbl.	Bbl.	%
170	8'260,000	7'623,000	56
190	8'256,000	7'620,000	56
210	8'403,000	7'744,000	57

Existe una curiosa igualdad, entre las recuperaciones de los tres regímenes, con una ligera ventaja para el último de ellos.

- d.- Las fechas aproximadas, de despliegue del reservorio serían:

<u>Régim.</u>	<u>Fecha Despliegue</u>
Bbl/día/Pozo	
170	Julio 1978
190	Enero 1977
210	Enero 1976

BIBLIOGRAFIA

- Boletín de la Soc. Geológica del Perú.- Tomo 34 Año 1959
- Reservoir Engineering Manual Frank W. Cole
- Oil Reservoir Engineering Silvain J. Pirson
- Petroleum Production Handbook Thomas C. Price
- Physical Principles of Oil Production Morris Eshkat
- Oil Production by Water Park J. Jones
- Properties of Petroleum Reservoir Fluids Emil J. Borek
- Datos de la Dirección de Petróleo